

VYSOKÉ UČENÍ TECHNICKÉ V BRNĚ  
BRNO UNIVERSITY OF TECHNOLOGY

FAKULTA ELEKTROTECHNIKY A KOMUNIKAČNÍCH TECHNOLOGIÍ  
ÚSTAV RADIOELEKTRONIKY

FACULTY OF ELECTRICAL ENGINEERING AND COMMUNICATION  
DEPARTMENT OF RADIO ELECTRONICS

KOMUNIKAČNÍ ADAPTÉR PRO SYSTÉM SBĚRU DAT —  
HARDWAROVÁ I SOFTWAREOVÁ REALIZACE

BAKALÁŘSKÁ PRÁCE  
BACHELOR'S THESIS

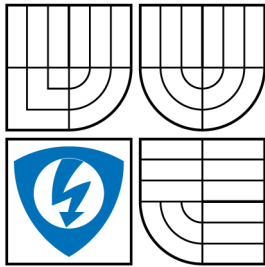
AUTOR PRÁCE  
AUTHOR

PETR KAŠPAR

BRNO 2009



VYSOKÉ UČENÍ TECHNICKÉ V BRNĚ  
BRNO UNIVERSITY OF TECHNOLOGY



FAKULTA ELEKTROTECHNIKY  
A KOMUNIKAČNÍCH TECHNOLOGIÍ  
ÚSTAV RADIOELEKTRONIKY

FACULTY OF ELECTRICAL ENGINEERING AND  
COMMUNICATION  
DEPARTMENT OF RADIO ELECTRONICS

KOMUNIKAČNÍ ADAPTÉR PRO SYSTÉM SBĚRU DAT —  
HARDWAROVÁ I SOFTWAREVÁ REALIZACE  
COMMUNICATION ADAPTOR FOR DATA ACQUISITION SYSTEM  
HARDWARE AND SOFTWARE DESIGN

BAKALÁŘSKÁ PRÁCE  
BACHELOR'S THESIS

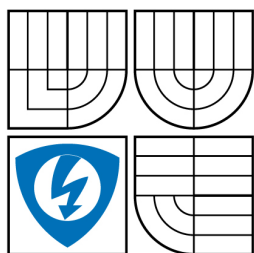
AUTOR PRÁCE  
AUTHOR

PETR KAŠPAR

VEDOUCÍ PRÁCE  
SUPERVISOR

Ing.IVANA JAKUBOVÁ

BRNO 2009



VYSOKÉ UČENÍ  
TECHNICKÉ V BRNĚ

Fakulta elektrotechniky  
a komunikačních technologií

Ústav radioelektroniky

# Bakalářská práce

bakalářský studijní obor  
Elektronika a sdělovací technika

**Student:** Petr Kašpar

**ID:** 78563

**Ročník:** 3

**Akademický rok:** 2008/2009

## NÁZEV TÉMATU:

**Komunikační adaptér pro systém sběru dat – hardwarová i softwarová realizace**

## POKYNY PRO VYPRACOVÁNÍ:

Komunikační mikrokontrolérem řízený adaptér má zprostředkovat přenos dat z ultrazvukového tloušťkoměru do nadřazeného systému k dalšímu zpracování tak, že zajistí potřebnou změnu přenosových parametrů a formátu přenášených dat. Dle informací zadavatele se seznamte s konkrétními parametry vstupního a výstupního zařízení. Ideově navrhnete blokovou strukturu adaptéru a sestavte vývojový diagram obslužného programu. Dle požadovaných vlastností aplikace vyberte vhodný typ mikrokontroléru.

Na základě závěrů předchozí etapy navrhnete schéma zapojení s vybraným typem mikrokontroléru a realizujete je na zkušební desce. Navrhnete a odladíte program v ASM a ověříte funkci zařízení. Navrhnete desku plošných spojů, zařízení realizujete a pro typické soubory vstupních dat ověříte jeho spolehlivou funkčnost.

## DOPORUČENÁ LITERATURA:

- [1] Technická dokumentace výrobců Microchip, Aurel.
- [2] HRBÁČEK, J. Komunikace mikrokontroléru s okolím. Praha: BEN – technická literatura, 2002.
- [3] Microchip MPASM user guide.
- [4] GOFTON, P. W. Sériová komunikace. Praha: Grada, 1995.

**Termín zadání:** 9.2.2009

**Termín odevzdání:** 5.6.2009

**Vedoucí práce:** Ing. Ivana Jakubová

**prof. Dr. Ing. Zbyněk Raida**  
Předseda oborové rady

## **ABSTRAKT**

Cílem této bakalářské práce je tvorba adaptéru pro systém sběru dat řízeného mikrokontrolérem. Funkce zařízení spočívá v sériovém asynchronním příjmu ASCII řetězce odeslaného ultrazvukovým tloušťkoměrem přenosovou rychlostí 2400Bd. Přenos je realizován dle standardu RS-232. Část řetězce obsahuje číselnou informaci o hodnotě změřené tloušťkoměrem. V mikrokontroléru je tato číselná informace vynásobena korekční konstantou uloženou v paměti EEPROM a umístěním desetinné čárky je určen řád čísla. Poté je řetězec zařízením asynchronně odeslán přenosovou rychlostí 9600Bd do nadřazeného systému. V práci je popsán obslužný program mikrokontroléru v jazyce Assembler a hardwarová konstrukce zařízení.

## **KLÍČOVÁ SLOVA**

Mikrokontrolér, PIC, Assembler, RS-232, Sériová komunikace.

## **ABSTRACT**

The aim of this bachelor thesis is to create adaptor with microcontroller for data acquisition system. Function of the device is to receive serial asynchronous string of ASCII characters which was send from ultrasonic thickness gauge. Baud rate of transmission is 2400Bd. Transmission is realized according to RS-232 standard. Part of the string contains numeric information about value which was measured by thickness gauge. This numeric information is in microcontroller multiplied with corrective constant and decimal point in result is placed to right position. Corrective constant is stored in EEPROM memory. After that adaptor transmits data to superior system in format of serial asynchronous string of ASCII with baud rate 9600Bd. Thesis describes service code for microcontroller in Assembler language and hardware construction of device.

## **KEYWORDS**

Microcontroller, PIC, Assembler, RS-232, Serial Communication.

KAŠPAR, P. *Komunikační adaptér pro systém sběru dat – hardwarová i softwarová realizace*. Brno: Vysoké učení technické v Brně. Fakulta elektrotechniky a komunikačních technologií, 2009. 79 s. Vedoucí práce Ing.Ivana Jakubová.

## PROHLÁŠENÍ

Prohlašuji, že svou bakalářskou práci na téma „Komunikační adaptér pro systém sběru dat — hardwarová i softwarová realizace“ jsem vypracoval samostatně pod vedením vedoucího bakalářské práce a s použitím odborné literatury a dalších informačních zdrojů, které jsou všechny citovány v práci a uvedeny v seznamu literatury na konci práce.

Jako autor uvedené bakalářské práce dále prohlašuji, že v souvislosti s vytvořením této bakalářské práce jsem neporušil autorská práva třetích osob, zejména jsem nezasáhl nedovoleným způsobem do cizích autorských práv osobnostních a jsem si plně vědom následků porušení ustanovení § 11 a následujících autorského zákona č. 121/2000 Sb., včetně možných trestněprávních důsledků vyplývajících z ustanovení § 152 trestního zákona č. 140/1961 Sb.

V Brně dne .....

.....

(podpis autora)

## PODĚKOVÁNÍ

Děkuji vedoucí práce Ing.Ivaně Jakobové a odbornému konzultantovi Ing.Jiřímu Jakobovi za osobní přístup, organizační vedení, odborné konzultace a velmi cenné rady při zpracovávání bakalářské práce.

V Brně dne .....

.....

(podpis autora)

# OBSAH

Úvod	10
<b>1 Specifikace zadání</b>	<b>11</b>
1.1 Vstupní část . . . . .	11
1.2 Zpracování řetězce . . . . .	11
1.3 Výstupní část . . . . .	11
1.4 Hardware . . . . .	12
<b>2 Teoretický základ pro řešení problematiky</b>	<b>13</b>
2.1 Asynchronní sériový přenos . . . . .	13
2.2 Standard sériové komunikace RS-232-C . . . . .	13
2.3 Mikrokontroléry PIC . . . . .	14
<b>3 Možnosti řešení</b>	<b>17</b>
3.1 Softwarová část . . . . .	17
3.1.1 Přijímání a vysílání . . . . .	17
3.1.2 Zpracování řetězce . . . . .	22
3.2 Hardwarová část . . . . .	27
3.2.1 Vhodné typy mikrokontrolérů PIC . . . . .	27
3.2.2 Podpůrné obvody mikrokontroléru . . . . .	29
<b>4 Konstrukce hardwarové části</b>	<b>32</b>
4.1 Použité integrované obvody . . . . .	32
4.1.1 Mikrokontrolér PIC16F913 . . . . .	32
4.1.2 Převodník MAX232 . . . . .	32
4.1.3 Stabilizátor napájecího napětí 78L05 . . . . .	32
4.2 Schéma zapojení adaptéru . . . . .	33
4.3 Kompatibilita zapojení s jinými typy PIC . . . . .	35
4.4 Úprava zapojení pro připojení bezdrátového modulu . . . . .	36
<b>5 Realizace softwarové části</b>	<b>38</b>
5.1 Hlavní procedury obslužného programu . . . . .	39
5.1.1 Příjem řetězce . . . . .	39
5.1.2 Vstupní úprava . . . . .	41
5.1.3 Převod řetězce z BCD do binárního tvaru . . . . .	42
5.1.4 Násobení . . . . .	42
5.1.5 Převod z binárního tvaru na BCD řetězec . . . . .	44
5.1.6 Výstupní úprava . . . . .	45

5.1.7	Odeslání řetězce . . . . .	46
5.2	Ověření funkčnosti . . . . .	48
5.3	Přenositelnost obslužného programu . . . . .	48
<b>6</b>	<b>Závěr</b>	<b>50</b>
	<b>Literatura</b>	<b>51</b>
	<b>Seznam symbolů, veličin a zkratk</b>	<b>54</b>
	<b>Seznam příloh</b>	<b>56</b>
<b>A</b>	<b>Vztahy pro převod z binárního tvaru na BCD čísla</b>	<b>57</b>
<b>B</b>	<b>Zdrojový kód obslužného programu</b>	<b>59</b>
B.1	Podprogram pro čtení dat z EEPROM . . . . .	59
B.2	Podprogram pro příjem dat a převod na BCD . . . . .	60
B.3	Podprogram pro vstupní úpravu řetězce . . . . .	62
B.4	Podprogram pro převod z BCD na binární formát . . . . .	63
B.5	Podprogram pro binární násobení korekční konstantou . . . . .	65
B.6	Podprogram pro převod z binárního formátu na BCD . . . . .	66
B.7	Podprogram pro výstupní úpravu řetězce . . . . .	76
B.8	Podprogram pro odeslání řetězce . . . . .	77
<b>C</b>	<b>ASCII tabulka</b>	<b>78</b>
<b>D</b>	<b>Obsah doprovodného CD</b>	<b>79</b>



# SEZNAM OBRÁZKŮ

1.1	Typický tvar vstupního řetězce. . . . .	11
1.2	Typický tvar výstupního řetězce. . . . .	12
2.1	Blokové schéma struktury 8-bitové mikrokontroléru. . . . .	15
3.1	Bloková struktura navrhovaného adaptéru. . . . .	17
3.2	Blokové schéma přijímače USART mikrokontroléru PIC16F13 [13]. . .	21
3.3	Blokové schéma vysílače USART mikrokontroléru PIC16F13 [13]. . .	22
3.4	Vývojový diagram algoritmu založeném na přímém zpracování BCD. . .	24
3.5	Vývojový diagram algoritmu založeném na převodu do binárního formátu. . . . .	25
3.6	Závislost odebíraného proudu na napájecím napětí při taktovacích kmitočtech 1 a 4 MHz ve stavu XT [13]. . . . .	30
4.1	PIC16F913 - zapojení vývodů pouzdra SOIC-28 [13]. . . . .	32
4.2	MAX232 - A) Zapojení vývodů pouzdra, B) Doporučené hodnoty kapacit, C) Funkční schéma. [14]. . . . .	33
4.3	78L05 - Zapojení vývodů pouzdra S0-8 [18]. . . . .	33
4.4	Schéma zapojení adaptéru. . . . .	34
4.5	Návrh desky plošných spojů. Pohled z hora. . . . .	35
4.6	Osazovací schéma. Pohled z hora. . . . .	35
4.7	Realizované zařízení. . . . .	36
5.1	Struktura řídicích registrů. . . . .	39
5.2	Vývojový diagram hlavní části programu. . . . .	40
5.3	Vývojový diagram procedury pro převod z BCD na binární formát. . .	43
5.4	Vývojový diagram procedury násobení. . . . .	44
5.5	Vývojový diagram procedury pro výstupní úpravu. . . . .	47
5.6	Blokové schéma propojení počítače s adaptérem. . . . .	49
5.7	Instance programu Terminal - příjem řetězce na počítači. . . . .	49

## SEZNAM TABULEK

3.1	Vztahy pro výpočet hodnoty konstanty pro nastavení <i>SPBRG</i> [13]. . .	20
3.2	Mikrokontroléry vhodné pro použití v adaptéru. . . . .	28
3.3	Srovnání použitelných typů převodníků TTL/RS232. . . . .	30
4.1	Seznam všech součástí použitých pro konstrukci. . . . .	36
4.2	Pinově kompatibilní mikrokontroléry. . . . .	36
C.1	Nižší část ASCII tabulky. . . . .	78

# ÚVOD

Bakalářská práce se zabývá návrhem komunikačního adaptéru pro systém sběru dat. Funkce zařízení spočívá v zajištění přenosu dat mezi ultrazvukovým tloušťkoměrem a nadřazeným systémem zajištěním změny informační části datové informace, přenosových parametrů a formátu přenášených dat. Data vstupují do zařízení ve formě řetězce ASCII (americký normalizovaný kód pro výměnu informací – American Standard Code for Information Interchange) znaků se zadanou přenosovou rychlostí. Tento řetězec je zařízením přijat, zpracován a opět ve formě ASCII řetězce se zadanou přenosovou rychlostí odeslán do nadřazeného systému.

Zadání nabádá k výběru vhodného typu mikrokontroléru PIC od výrobce Microchip Technology Inc. Dále k vytvoření obslužného programu v jazyce symbolických adres Assembler. Zadáním je požadována i hardwarová realizace zařízení s ověřením jeho funkčnosti na typických vstupních datech.

# 1 SPECIFIKACE ZADANÍ

## 1.1 Vstupní část

Z důvodu omezení počtu vodičů nutných pro spojení je využito simplexní asynchronní komunikace dle standardu RS-232-C. Délka slova při přenosu je 8 bitů, zakončení je provedeno jedním stop bitem. Není využívána kontrola paritním bitem. Vstupní přenosová rychlost je 2400 Bd. Měřením získaná vstupní data mají formu řetězce v otevřeném ASCII tvaru. Řetězec se skládá z informačních a režijních znaků. Informační znaky nesou informaci o hodnotě změřené tloušťkoměrem v mikrometrech. Část informačních znaků je zakončena ASCII znaky CR (návrát vozíku – Carriage Return) a LF (posun o řádek – Line Feed), které slouží k oddělení jednotlivých měřených hodnot v nadřazeném systému. Režijní znaky se na vstupu systému filtrují a dále se nepřenášejí a nezpracovávají. Typický tvar vstupního řetězce je uveden na Obr.1.1. Řetězec je zařízením přijímán cca 3x za sekundu.

Hexadecimální vyjádření:	54	31	32	33	34	35	0D	0A	20	0C
ASCII vyjádření:	T	1	2	3	4	5	CR	LF	SPACE	FF

Režijní znaky       Informační znaky

Obr. 1.1: Typický tvar vstupního řetězce.

## 1.2 Zpracování řetězce

Po příjmu řetězce a nutném odfiltrování režijních znaků je informace o hodnotě změřené tloušťkoměrem převedena z mikrometrů na milimetry umístěním desetinné čárky na příslušnou pozici a vynásobena volitelnou kalibrační konstantou v rozsahu 0,001 až 65,535. Takto zpracovaný řetězec spolu se znaky CR a LF na jeho konci je zařízením odeslán.

## 1.3 Výstupní část

Požadavky na parametry výstupní části zařízení jsou odvozeny od vstupních parametrů nadřazeného systému. Jedná se taktéž o simplexní asynchronní přenos dle standardu RS-232-C. Délka slova je 8 bitů a slovo je zakončeno jedním stop bitem. Kontrola vysíláním paritního bitu není vyžadována. Výstupní přenosová rychlost je 9600 Bd. Typický tvar výstupního řetězce je uveden na Obr.1.2.

S využitím protokolu RS-232 je počítáno pouze pro testovací prototyp. V reálném systému bude výstupem zařízení bezdrátový vysílací modul.

Hexadecimální vyjádření:	31	32	2C	33	34	35	0D	0A
ASCII vyjádření:	1	2	,	3	4	5	CR	LF

Obr. 1.2: Typický tvar výstupního řetězce.

## 1.4 Hardware

Zadání požaduje použití mikrokontroléru PIC. Adaptér je napájen nestabilizovaným stejnosměrným napětím 7,5V. Zadáním je požadován návrh DPS (deska plošných spojů) ve formě vhodné pro SMT (technologie povrchové montáže – Surface Mount Technology). Této technologii je podřízen výběr vhodných SMD (součástka pro povrchovou montáž – Surface Mount Device) součástek zařízení.

## 2 TEORETICKÝ ZÁKLAD PRO ŘEŠENÍ PROBLEMATIKY

### 2.1 Asynchronní sériový přenos

Datová informace je přenášena v sériovém bitovém toku ve formě časově proměnného signálu. Každý bit je přenášán pevně stanovenou dobu, známou jako bitovou periodu příp. baud periodu. Úrovně při komunikaci mohou nabývat dvou stavů. Binární 1 nazývaný MARK a stav nazývaný SPACE vyjadřující binární 0 [10].

Při asynchronním sériovém přenosu jsou jednotlivé datové bity přenášeny v oddělených skupinách 7 - 10 bitů. Tyto skupiny se nazývají znaky. Využívá se proces zvaný vytváření rámců. Před znak je zařazen start bit. Za znak je zařazen stop bit. Stop bit může mít délku až dvou bitových period.

V případě, že po sériové lince neprobíhá přenos, je tato linka ve stavu MARK. Start bit na začátku přenosu způsobí změnu ze stavu MARK do stavu SPACE a tím upozorňuje přijímač na přicházející data. V tomto okamžiku se přijímač zasynchronizuje. Stop bit, který ukončuje rámeček, změní stav přenosové linky zpět na MARK.

Při zjišťování hodnot jednotlivých datových bitů přijímač nepracuje asynchronně, nýbrž s každou bitovou periodou zjišťuje stav přenosové linky. Lze tedy zjednodušeně říci, že přijímání start bitu je prováděno asynchronně, příjem datových bitů a stop bitu je však již synchronní s přenosovou rychlostí.

Přenosová rychlost vyjadřuje počet diskrétních signálů za sekundu. Je vyjádřena v Bd (Baud). U jednoduchého asynchronního přenosu je hodnota v baudech shodná s rychlostí v bit/s (bity za sekundu), protože se jedná pouze o dvoustavovou modulaci [1].

### 2.2 Standard sériové komunikace RS-232-C

Jedná se o normu publikovanou v roce 1969 pod hlavičkou EIA (sdružení pro elektronický průmysl – Electronic Industries Association). Byla vyvinuta pro zajištění vzájemné kompatibility při sériové komunikaci zařízení různých výrobců, původně zejména modemů a terminálů. Z tohoto základu vyplývá v popisu standardu užívané značení komunikujících zařízení. Standard určuje elektrické vlastnosti obvodů mezi dvěma zařízeními, definuje názvy a čísla jednotlivých vodičů.

V dnešní době v oblasti spotřební elektroniky je standard RS-232-C nahrazován novějším USB (univerzální sériová sběrnice – Universal Serial Bus). Díky jednoduchosti implementace však RS-232 stále nachází uplatnění zejména ve specializovaných systémech.

Elektrické signály použité pro přímé sériové spojení mají normou určené hodnoty napětí. Stav MARK reprezentující binární 1 má normou povolené napěťové úrovně - 5V až - 15V na výstupu vysílače a -3V až -15V na vstupu přijímače. Povolené napěťové úrovně pro stav SPACE jsou +5V až +15V na výstupu vysílače a +3V až +15V na vstupu přijímače. Rozdíl mezi normou definovanými hodnotami napětí pro výstup vysílače a vstup přijímače slouží ke kompenzaci jeho poklesu ve spojovacím vodiči vlivem útlumu. Dle literatury [1] se za maximální vzdálenost přenosového vodiče při obvyklých přenosových rychlostech považuje hodnota 15m. Při hodnotě vyšší může klesnout úroveň napětí mimo povolené meze. Kvalitu signálu mimo délky spojovacího vodiče ovlivňuje také jeho kapacita.

Při bitovém přenosu znaku je přenášen jako první bit s nejnižším významem neboli LSb (Nejméně významný bit – Least Significant bit) a jako poslední bit MSb (Bit s největším významem – Most Significant bit).

Pro simplexní přenos z DCE (ukončující zařízení datového okruhu – Data Communication Equipment) do DTE (koncové zařízení přenosu dat – Data Terminal Equipment), využitý v této práci, je dle literatury [1] plně dostačující užití dvojice vodičů TXD (vysílaná data – Transmitted Data) a SG (signálová země – Signal Ground). Vodič SG slouží jako napěťová reference pro určení polarity a napětí vodiče TXD. Vodič TXD slouží k přenosu sériového signálu. Vodič pro přenos v opačném směru se nazývá RXD (přijímaná data – Received Data).

## 2.3 Mikrokontroléry PIC

Jsou jednočipové počítače založené na modifikované Harvardské RISC (Počítač s redukovanou instrukční sadou – Reduced Instruction Set Computer) architektuře. Základ Harvardské architektury spočívá v oddělení paměti programu a dat (viz. Obr.2.1). Oddělením je umožněno využití samostatných sběrnic. Redukcí instrukční sady pouze na základní instrukce je zvýšena rychlost jejich vykonávání. Konstantní délka instrukcí umožňuje jejich vykonávání v přesně stanoveném čase a to buď v jednom nebo dvou hodinových cyklech.

Nabídka společnosti Microchip je velmi široká, čítá stovky mikrokontrolérů. Každý mikrokontrolér však obsahuje:

- paměť RAM pro data, paměť EPROM nebo Flash pro program,
- digitální vstupně výstupní porty,
- časovač s 8-bitovým „předděličem“,
- časovač Watchdog, rozhraní pro připojení externího oscilátoru,

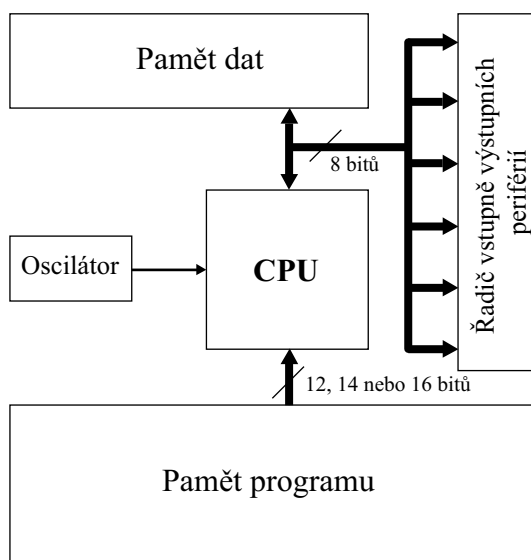
- přímé a nepřímé adresování,
- mód s nižší spotřebou tzv. SLEEP, Power-on reset.

Mikrokontrolér může obsahovat další z volitelných příslušenství, například:

- analogové komparátory, větší množství čítačů, datovou paměť EEPROM,
- přerušení od vnitřních či vnějších zdrojů, vlastní oscilátor,
- PWM výstup, Sériové komunikační rozhraní SCI - USART, a mnoho dalších.

Je možné vybírat z 8,16 nebo 32-bitových mikrokontrolérů. Základní dělení je do produktových řad tzv. rodin (z anglického: Family).

Řada 8-bitových mikrokontrolérů zastupuje mikrokontroléry s nízkým výpočetním výkonem do 16 MIPS (Milion instrukcí za sekundu – Million Instructions Per Second), s 12, 14 či 16-bitovou délkou slova instrukce, s taktovacím kmitočtem do 32MHz, paměti programu do 128Kb, datovou paměť do 4Kb. Mohou obsahovat (z hlediska kompletní nabídky) jednodušší příslušenství např. rozhraní pro komunikaci na sběrnici CAN (Controller-Area Network), řadiče LCD, podporu USB a další. Výkon a příslušenství předurčuje 8-bitové mikrokontroléry hlavně k řídicím funkcím a pro výkonově nenáročné aplikace.



Obr. 2.1: Blokové schéma struktury 8-bitové mikrokontroléru.

Řada 16-bitových mikrokontroléru zastupuje součástky s výpočetním výkonem od 16 do 40 MIPS, délkou slova instrukce až 24-bitů, taktovacím kmitočtem do



80MHz, paměti programu do 512Kb a paměti dat do 32Kb. Jsou určeny pro náročnější aplikace jako signálové zpracování, řízení grafických displejů, síťové řídicí prvky apod. Základna možných příslušenství je oproti 8-bitovým mikrokontrolérům významně rozšířena.

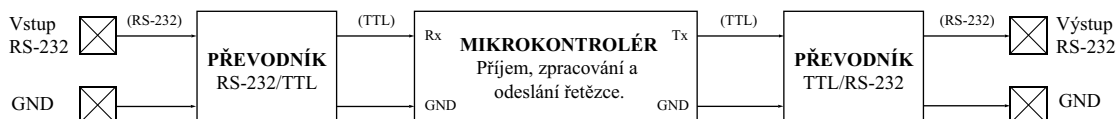
Vrcholovou řadu z hlediska výpočetního výkonu i technologie představují 32-bitové mikrokontroléry. Výpočetní výkon 1,5 DMIPS/MHz (Dhrystone MIPS/MHz), taktovací kmitočet 80MHz.

Velkou konkurenční výhodou obecně všech produktů společnosti Microchip tvoří jejich „odborná podpora“. Na webu výrobce je možné najít obsáhlou knihovnu návodů jak řešit určitý technický problém tzv. aplikační poznámky (Z anglického: Application Note). Pro každý produkt je k dispozici několik specifikačních dokumentů tzv. datasheetů (Z anglického: Datasheet). V neposlední řadě také možnost volného stažení propracovaného aplikačního prostředí MPLAB pro vývoj programů pro všechny distribuované mikrokontroléry.

Kromě vývojového prostředí je pro práci s mikrokontroléry nutný programátor. Jedná se o zařízení, které program vytvořený na počítači nahraje do cílové součástky. Pro práci na praktické části bakalářské práce byl využit programátor PICQUICK od české společnosti ASIX s.r.o. Zejména kvůli nižším pořizovacím nákladům a podpoře širokého spektra mikrokontrolérů. Programátor pracuje s ovládacím softwarem UP rovněž od společnosti ASIX s.r.o.

### 3 MOŽNOSTI ŘEŠENÍ

Pro snadnější orientaci byla práce rozdělena na část hardwarovou, zaměřující se na výběr vhodných součástek a konstrukční provedení adaptéru a část softwarovou popisující obslužný program v jazyce symbolických adres. Cílem bylo vybrat pro každou z částí optimální řešení. Výchozím bodem řešení bylo vytvoření blokové struktury adaptéru (Obr.3.1) respektující požadavky zadání.



Obr. 3.1: Bloková struktura navrhovaného adaptéru.

#### 3.1 Softwarová část

Funkci obslužného programu zařízení lze rozdělit na dvě dílčí části:

- příjem a vysílání,
- zpracování přijatých dat.

##### 3.1.1 Přijímání a vysílání

Pro usnadnění sériově komunikace může být hardware mikrokontroléru vybaven obvodem USART (Univerzální synchronní asynchronní přijímač vysílač – Universal Synchronous Asynchronous Receiver Transmitter). V případě, že tomu tak není, je možné programově obvod USART emulovat. V některých případech je obvod USART označován obecně jako sériové komunikační rozhraní SCI (Serial Communication Interface). Asynchronní komunikaci dle zadání lze při užití mikrokontroléru realizovat čtyřmi způsoby.

##### Vstup:software - výstup:software

Plnou aplikační emulací asynchronního komunikačního rozhraní je umožněno využití hardwarově jednoduššího mikrokontroléru za cenu vyšší složitosti obslužného programu. Příjem či odesílání dat je podmíněno řízením všech částí vykonávaných procesů, snižuje se tak výpočetní kapacita dostupná pro další části obslužného programu. Návod k vytvoření nutných procedur je možné nalézt např. v literatuře [10]

nebo v aplikační poznámce [7]. Pin mikrokontroléru určený pro vstup asynchronního signálu je označován  $RX$ , pin pro výstup je označen  $TX$ .

Při emulaci přijímače je nutné zajistit následující úkony:

- nastavení časovače (např.  $TMR0$ ) na bitovou periodu přijímaného signálu a nastavit přerušení při jeho přetečení,
- nastavení přerušení při změně úrovně na vstupním pinu  $RX$  pro detekci start bitu,
- vytvořit proceduru pro spuštění čítače  $TMR0$  při přerušení pinu  $RX$ ,
- vytvořit proceduru pro vzorkování a správné ukládání hodnoty vstupního pinu do proměnné tzv. bufferu vždy, když nastane přerušení čítače  $TMR0$ .

Pro softwarem emulovaný asynchronní vysílač je nutno zajistit:

- nastavení časovače např.  $TMR0$  na bitovou periodu vysílaného signálu a nastavit přerušení při jeho přetečení,
- vytvořit proceduru která spustí čítač  $TMR0$ , odešle start bit a dále bude znovu nastavovat hodnotu  $TMR0$  a odesílat jednotlivé bity bufferu na výstupní pin  $TX$  vždy při přerušení přetečením čítače  $TMR0$ . Po ukončení přenosu dat z bufferu musí procedura vyslat stop bit.

Správné nastavení časovače, je základní předpoklad přijímání či vysílání s nulovou chybovostí. Pro závislost bitové periody a přenosové rychlosti platí vztah:

$$T_b = \frac{1}{f_b}$$

, kde  $T_b$  označuje bitovou periodu a  $f_b$  přenosovou rychlost. Hodnota bitové periody při přenosové rychlosti 9600 Bd je:

$$T_b = \frac{1}{f_b} = \frac{1}{9600} = 104,16 \mu s.$$

Například při uvažování mikrokontroléru řady PIC16F87X je časovač s nepředřazeným „předděličem“ dle literatury [9] [12] inkrementován s frekvencí  $f_{OSC}/4$ , kde  $f_{OSC}$  značí taktovací kmitočet. Množina hodnot času, kterou je čítač schopen indikovat z tohoto důvodu není spojitá, ale nabývá pouze diskrétních hodnot. Aby bylo dosaženo co možná nejpřesnějšího nastavení bitové periody, je nutná aproximace na nejbližší diskrétní hodnotu. Při taktovacího kmitočtu 4 MHz je čítač inkrementován s periodou:

$$T_c = \frac{1}{\frac{f_{OSC}}{4}} = \frac{1}{\frac{4 \cdot 10^6}{4}} = 1 \mu s.$$

Skutečné bitová perioda  $T_b = 104,16\mu s$  je aproximována na hodnotu  $T'_b = 104\mu s$ . Přenosová rychlost se aproximací změní z 9600 Bd na:

$$f'_b = \frac{1}{T'_b} = \frac{1}{104 * 10^{-6}} = 9615,38Bd,$$

což představuje relativní chybu přenosové rychlosti způsobenou aproximací:

$$\delta_a = \left( \frac{f'_b - f_b}{f_b} \right) * 100 = \left( \frac{9615,38 - 9600}{9600} \right) * 100 = 0,16\%.$$

Nulové hodnoty relativní chyby lze dosáhnout pouze při taktovacím kmitočtu odpovídajícím celočíselnému násobku přenosové rychlosti. Pro přenosovou rychlost 9600 Bd se jedná např. o taktovací kmitočet 3.6864MHz. Za mezní hodnotu nepřesnosti nastavení přenosové rychlosti je považována relativní chyba 5%.

Při vytváření procedur je však nutné vzít v potaz nejen zmíněnou bitovou periodu, ale také časovou náročnost provádění jednotlivých instrukcí, které zabezpečují softwarovou emulaci a provést příslušnou korekci hodnoty časovače.

Výhodou této varianty je úplná kontrola přenosového protokolu. Jednoduše je možné změnit počet přijímaných či vysílaných bitů v jednom znaku, pokud je to nutné.

## **Vstup:USART - výstup:USART**

Využití hardwarové podpory sériové asynchronní komunikace je umožněno obvodem USART. Blokované schéma přijímače USART je uvedeno na Obr.3.2.

Data vstupují do přijímače z pinu *RX/DT*, který je v případě nastavení bitu *SPEN* spojen s blokem obnovy dat. Blok obnovy dat zahájí přijímání znaku se sestupnou hranou prvního bitu (start bitu). Je odpočítána polovina bitové periody a v tomto čase je opětovným vzorkováním ověřeno, že se skutečně jedná o start bit. Pokud navzorkovaná hodnota neodpovídá logické úrovni start bitu, je přijímání znaku zrušeno a blok obnovy dat přejde do stavu kontroly vstupního signálu na výskyt sestupné hrany. Po úspěšném ověření start bitu je blokem obnovy dat odpočítán čas jedné bitové periody a v tomto čase je signál vzorkován. Výsledek vzorkování (logická 1 nebo 0) je přesunut registru *RSR* (Receive Shift Register). Tento proces je opakován do chvíle, kdy jsou do registru *RSR* přesunuty všechny bity přijímaného znaku. Následuje ověření konzistence rámce vzorkováním stop bitu. Nesprávná úroveň stop bitu indikuje chybu rámce a je nastaven bit *FERR*. Dokončením příjmu stop bitu jsou datové bity znaku přesunuty z registru *RSR* do dvouúrovňového registru typu FIFO (First-In First-Out) označovaného *RCREG*. Přenos je indikován nastavením bitu *RCIF*, který v případě současného nastavení povolovacího bitu *RCIE* zahájí přerušování. Čtením registru *RCREG* je vyzvednut vždy nejdříve přijatý znak. Při nevyzvednutí dvojice znaků z registru, dojde po příchodu znaku třetího k jeho přetečení a v důsledku toho k zablokování přijímače.

Pro správnou funkci přijímacího bloku USART jako asynchronního přijímače je nutné nastavit:

- řídicí přijímací registr *RCSTA*,
- bitovou periodu přijímaného signálu (registry *SPBRG, TXSTA*).

Nastavení periody generátoru bitové periody se provádí pomocí konstanty vložené do registru *SPBRG* a nastavení dvojice řídicích bitů *SYNC* a *BRGH* v registru *TXSTA*. Hodnotu konstanty pro vložení do registru *SPBRG* lze vypočítat dle Tab.3.1, kde  $f_b$  značí přenosovou rychlost a  $f_{osc}$  značí taktovací kmitočet mikrokontroléru.

Konfigurační bity		Hodnota pro nastavení do SPBRG
SYNC	BRGH	
0	0	$[(f_{osc} / f_b)/64] - 1$
0	1	$[(f_{osc} / f_b)/16] - 1$

Tab. 3.1: Vztahy pro výpočet hodnoty konstanty pro nastavení *SPBRG* [13].

Například pro taktovací kmitočet 4MHz,  $BRGH=1$  a přenosovou rychlost 9600Bd lze dle vztahu uvedeného v Tab.3.1 vypočítat:

$$SPBRG = \frac{f_{osc}}{\frac{f_b}{16}} - 1 = \frac{4 * 10^6}{\frac{9600}{16}} - 1 = 25,041.$$

Do registru *SPBRG* je možné nastavit pouze celá čísla, je tedy nutné zaokrouhlit vypočtenou hodnotu konstanty na 25 celých. Při nastavení této hodnoty do *SPBRG* registru je skutečně nastavená přenosová rychlost [13]:

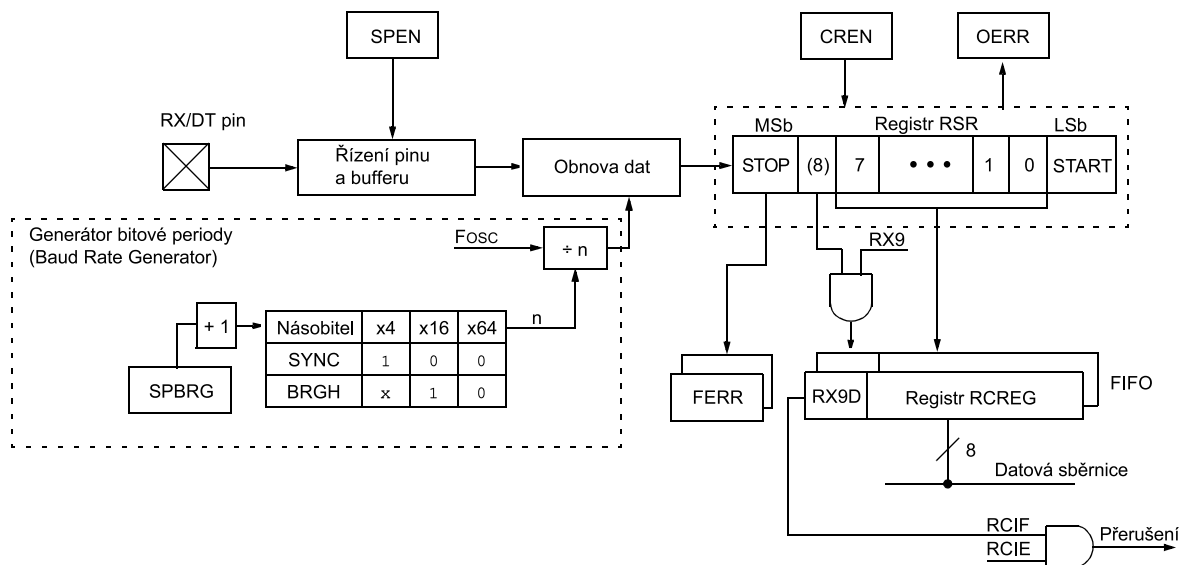
$$f'_b = \frac{f_{osc}}{16 * (SPBRG + 1)} = \frac{4 * 10^6}{16 * (25 + 1)} = 9615,38Bd.$$

Rozdíl požadované přenosové rychlosti a skutečně nastavené lze vyjádřit relativní chybou:

$$\delta_a = \left( \frac{f'_b - f_b}{f_b} \right) * 100 = \left( \frac{9615,38 - 9600}{9600} \right) * 100 = 0,16\%.$$

Dokumentace k jednotlivým typům mikrokontrolérů obsahuje tabulky s hodnotami konstant vhodných pro nastavení do registru *SPBRG* pro typické hodnoty taktovacích kmitočtů a přenosových rychlostí. Vypočtená hodnota se shoduje s uvedeným údajem v literatuře [13].

Funkce vysílače obvodu USART je patrná z blokového diagramu na Obr.3.3. Znak, který má být odeslán, je vložen do vysílacího bufferu - registru *TXREG*.



Obr. 3.2: Blokové schéma přijímače USART mikrokontroléru PIC16F13 [13].

Pokud právě neprobíhá vysílání, je znak ihned přesunut do posuvného vysílacího registru *TSR*. Přesun indikuje nastavení bitu *TXIF* registru *PIR1*. V případě, že probíhá vysílání, čeká datová informace v podobě znaku na vyprázdnění *TSR* a až poté je do něho přesunuta. Po vložení znaku do registru *TSR* je vyslán start bit a za ním následují přenášená data (znak). Vysílání je ukončeno stop bitem. Vysílač USART s přijímačem sdílí registr *SPBRG* a bity *SYNC* a *BRGH* pro nastavení generátoru bitové periody. Z toho vyplývá nemožnost vysílat a přijímat data s rozdílnou přenosovou rychlostí současně.

### Vstup:USART - výstup:software

Tato varianta je kombinací hardwarového přijímače obvodu USART a softwarem emulovaného vysílače. Po plném využití obvodu USART jde o variantu, která nejméně výkonově zatěžuje mikrokontrolér. Výhodou oproti přijímání a vysílání pomocí obvodu USART (shodně s první variantou) je možnost nastavit počet vysílaných bitů v jednom znaku.

### Vstup:software - výstup:USART

Kombinace softwarového přijímání a vysílání pomocí obvodu USART. Z hlediska řešeného úkolu nemá tato varianta v porovnání s ostatními žádné výhody.



konstantou a až následně je (v kroku před odesláním řetězce) vhodně umístěna desetinná čárka.

### Algoritmus založený na přímém zpracování BCD

Princip algoritmu je znázorněn na vývojovém diagramu (viz. Obr. 3.4). Číselná informace v řetězci je převedena z formátu ASCII do formátu BCD odečtením hexadecimálního čísla 30. Číslo 30 tvoří rozdíl mezi hexadecimální hodnotou čísla v ASCII a BCD (viz Tab.C.1). Každé BCD číslo je uloženo v samostatném registru, jedná se tedy o tzv. Unpacked formát. Čísla jsou označena:

$$znak[0], znak[1], znak[2], \dots, znak[k],$$

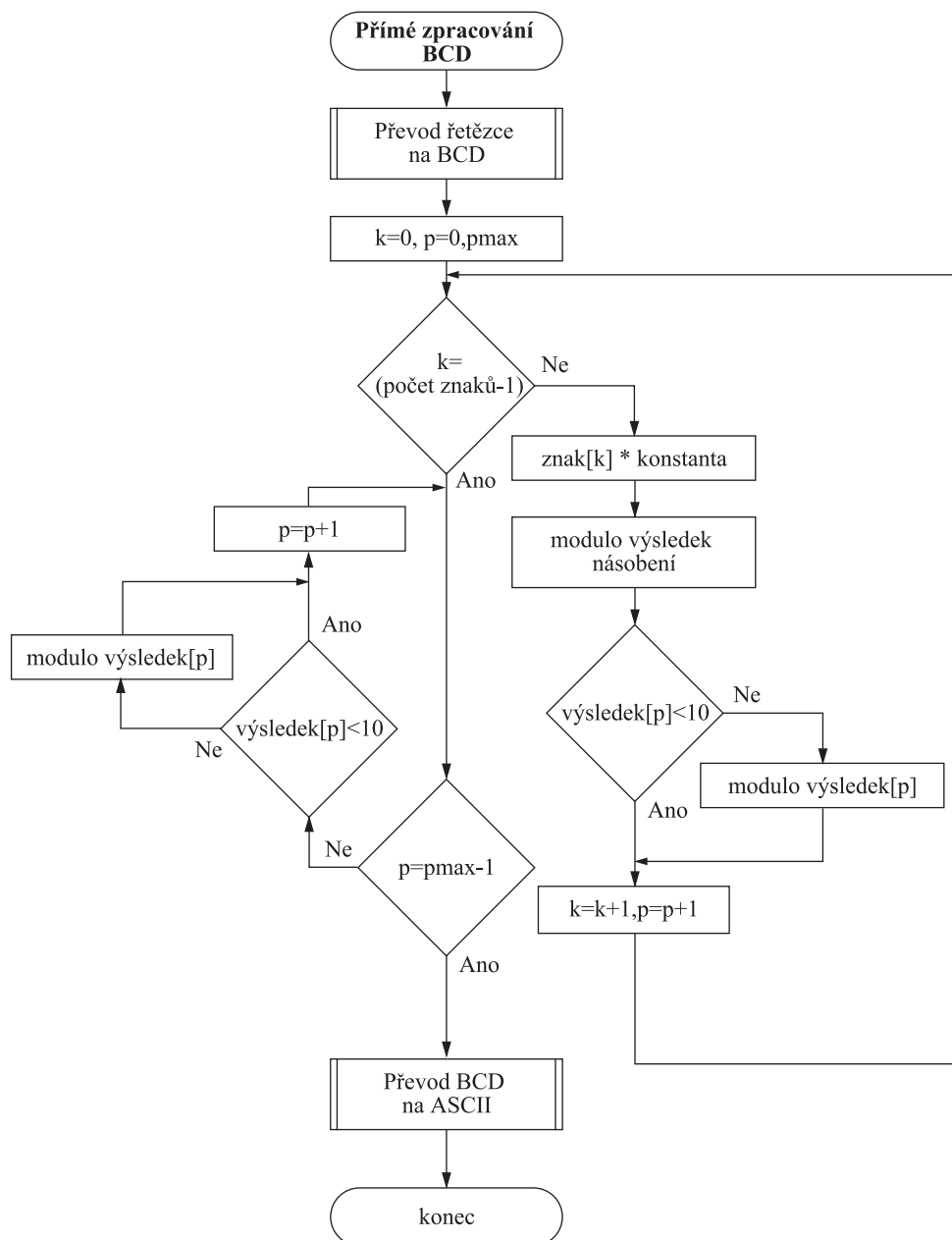
kde parametr  $k$  určuje pořadí přijatých čísel resp. dekadický řád čísla. Například  $znak[0]$  označuje naposledy přijaté číslo resp. číslo s řádem 0<sup>1</sup>. Znak[0] (například číslo 4) je vynásoben konstantou (například číslo 32), výsledek (číslo 128) je dočasně uložen v paměti. Proces pokračuje spuštěním procedury modulo, která výsledek násobení převede na jednotlivé BCD čísla a přičte je do příslušných paměťových míst. Maximální hodnota výsledku je  $9 * konstanta$ . Výsledek (číslo 128) tedy bude rozdělen na čísla 1, 2 a 8. Tyto čísla jsou přičtena do registrů  $vysledek[2]$ ,  $vysledek[1]$  a  $vysledek[0]$ . Obecně do registru  $vysledek[p]$ , kde parametr  $p$  vyjadřuje dekadický řád rozkládaného čísla. Následuje kontrola, zda  $vysledek[p]$  zpracovávaného řádu (v tomto případě nultý) není větší než-li 9, v případě nesplnění podmínky je výsledek podroben znovu funkci modulo a jeho vyšší řád je přičten k registru  $vysledek[p+1]$ . V případě splnění podmínky jsou inkrementovány pomocné proměnné  $k$  a  $p$ . Celý proces se opakuje do splnění podmínky  $k = (počet\ znaků - 1)$ , kde  $počet\ znaků$  označuje počet přijatých ASCII čísel. Po splnění podmínky se již pouze vyrovnávají koeficienty vyšších řádů tak, aby žádný z nich neměl hodnotu vyšší než-li 9. Proces je zakončen splněním podmínky  $p = pmax - 1$ , kde  $pmax$  označuje maximální možný řád dosažitelný při násobení. Například při násobení dekadického čísla o 5 řádech a dekadické konstanty o 3 řádech by měla proměnná hodnotu  $pmax = 5 + 3 = 8$ . Výsledkem algoritmu je řada BCD čísel

$$vysledek[pmax - 1], vysledek[pmax - 2], \dots, vysledek[2], vysledek[1], vysledek[0]$$

uložených v samostatných registrech. V závěru je nutné tyto čísla převést zpět do formátu ASCII. Před vysláním je v řetězci na pozici desetinné čárky umístěno hexadecimální číslo 2C (viz. Tab.C.1).

<sup>1</sup>Z hlediska skutečné hodnoty přijatého čísla se nejedná řád 0 ( $10^0$ ), nýbrž o řád  $10^{-6}$ .





Obr. 3.4: Vývojový diagram algoritmu založeném na přímém zpracování BCD.

### Algoritmus založený na převodu do binárního formátu

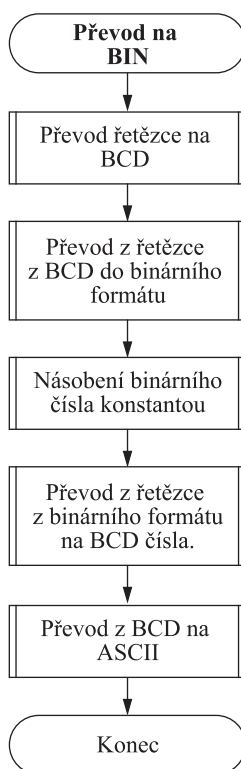
Vývojový diagram algoritmu je uveden na Obr.3.5. Číselná informace v přijatém řetězci je nejdříve převedena z ASCII formátu na formát BCD. Čísla jsou uložena v samostatných registrech a označena:

$$znak[0], znak[1], znak[2], \dots, znak[k],$$

kde parametr  $k$  určuje pořadí přijatých čísel resp. dekadický řád čísla, například  $znak[0]$  označuje naposledy přijaté číslo resp. číslo s řádem  $0^2$ .

Pro výsledek převodu do binárního tvaru je vyhrazen dostatečný prostor. Pro jednoduchost označován jako akumulční registr. Proces začíná přičtením čísla s nejnižším řádem ( $znak[0]$ ) do doposud nulového akumulčního registru. Následně je registr vynásoben dekadickým číslem deset. Což lze jednoduše realizovat bitovým posunem a sčítáním. Do akumulčního registru je poté přičteno číslo s druhým nejnižším řádem ( $znak[1]$ ), následně je opět akumulční registr vynásoben deseti. Celý proces se cyklicky opakuje do chvíle, kdy jsou ke akumulčnímu registru přičteny všechny číselné znaky. Výsledkem tohoto kroku je binární číslo vyjadřující přijatou číselnou hodnotu.

Dalším krok tvoří vynásobení binárního čísla korekční konstantou. Jeho výsledkem je také binární číslo vyjadřující výsledek po násobení. Po násobení následuje



Obr. 3.5: Vývojový diagram algoritmu založeném na převodu do binárního formátu.

převod z binárního tvaru do BCD. Princip převodu je založen na závislosti desítkové a hexadecimální řady vyjadřující totožné číslo [8]. Libovolné číslo vyjádřené čtyřmi hexadecimálními číslicemi lze zapsat jako:

$$H = h_3 * 16^3 + h_2 * 16^2 + h_1 * 16^1 + h_0 * 16^0,$$

<sup>2</sup>Z hlediska skutečné hodnoty přijatého čísla se nejedná řád 0 ( $10^0$ ), nýbrž o řád  $10^{-6}$ .

kde H označuje hodnotu hexadecimálního čísla a prvky  $h_3$  až  $h_0$  označují hexadecimální číslice vyjadřovaného čísla. Totožné hexadecimální číslo lze po převodu do desítkové soustavy vyjádřit jako:

$$D = d_4 * 10^4 + d_3 * 10^3 + d_2 * 10^2 + d_1 * 10^1 + d_0 * 10^0,$$

kde D označuje hodnotu dekadického čísla a prvky  $d_4$  až  $d_0$  označují desítkové číslice vyjadřovaného čísla. Jednotlivé složky hexadecimálního čísla lze roznásobit jako:

$$h_0 * 16^0 = h_0 * 1 = h_0 * 10^0,$$

$$h_1 * 16^1 = h_1 * 16 = h_1 * 10^1 + 6 * h_1 * 10^0,$$

$$h_2 * 16^2 = h_2 * 256 = 2 * h_2 * 10^2 + 5 * h_2 * 10^1 + 6 * h_2 * 10^0,$$

$$h_3 * 16^3 = h_3 * 4096 = 4 * h_3 * 10^3 + 9 * h_3 * 10^1 + 6 * h_3 * 10^0.$$

Pokud číslice vyjadřující příslušné dekadické řády sečteme, dostáváme vztahy:

$$d_{.0}' = h_0 + 6 * h_1 + 6 * h_2 + 6 * h_3,$$

$$d_{.1}' = h_1 + 5 * h_2 + 9 * h_3,$$

$$d_{.2}' = 2 * h_2,$$

$$d_{.3}' = 4 * h_3,$$

$$d_{.4}' = 0.$$

Takto vyjádřená dekadická čísla mohou nabývat hodnot vyšších než 9. Pro úpravu na čísla která budou menší nebo rovny 9, je nutné každé z nich podrobit dělením modulo 10 a následně zbytek přičíst číslu o řád vyššímu číslu. Tento postup znázorňují následující rovnice:

$$d_{.0} = d_{.0}' \text{ mod } 10,$$

$$p_{.0} = (d_{.0}' - d_{.0}' \text{ mod } 10) / 10$$

$$d_{.1} = (d_{.1}' + p_{.0}) \text{ mod } 10,$$

$$p_{.1} = [(d_{.1}' + p_{.0}) - (d_{.1}' + p_{.0}) \text{ mod } 10] / 10$$

$$d_{.2} = (d_{.2}' + p_{.1}) \text{ mod } 10,$$

$$p_{.2} = [(d_{.2}' + p_{.1}) - (d_{.2}' + p_{.1}) \text{ mod } 10] / 10$$

$$d_3 = (d_3' + p_2) \bmod 10,$$

$$p_3 = [(d_3' + p_2) - (d_3' + p_2) \bmod 10] / 10$$

$$d_4 = d_4' + p_3,$$

kde  $d_4$  až  $d_0$  vyjadřují desítkové číslice,  $p_4$  až  $p_0$  vyjadřují zbytky po dělení modulo 10 dělené deseti. V závěru je nutné realizovat převod čísel  $d_4$  až  $d_0$  z BCD formátu na formát ASCII. Posledním krokem je správné umístění desetinné čárky v podobě hexadecimálního čísla 2C.

Popsaný princip převodu z binárního do BCD formátu je co se týče rozsahu převáděného čísla zjednodušen.

### Výběr vhodné varianty

V rámci zpracování práce byly realizovány obě dvě zmíněné varianty. Při porovnání času zpracování byly algoritmy téměř srovnatelné a vyhovovaly zadání. Výhodou algoritmu s převodem do binárního tvaru je snadnější upravitelnost v případě, že bude nutné výstupní informaci adaptéru před odesláním kódovat, nebo jiným způsobem upravit. Pro využití v adaptéru byla proto zvolena tato varianta.

## 3.2 Hardwarová část

### 3.2.1 Vhodné typy mikrokontrolérů PIC

Z hlediska výpočetního výkonu jsou pro řešení zcela dostačující 8-bitové mikrokontroléry. Tato řada se dále dělí na tři podskupiny: Baseline, Mid-Range, High-Performance.

Řada Baseline zastupuje nejjednodušší mikrokontroléry s taktovacím kmitočtem do 4MHz a velmi omezeným příslušenstvím. Instrukční sada obsahuje 33 instrukcí a jejich šířka je 12 bitů. Předností je nízká cena a fyzické rozměry. Řada Mid-Range představuje výkonový střed 8-bitových mikrokontrolérů s komunikačním rozhraním v podobě SCI či UART a dalším příslušenstvím. Instrukční sada obsahuje 35 instrukcí a jejich šířka je 14 bitů. Výkonově nejvyšší je řada High-Performance. Instrukční sada obsahuje 75 až 83 instrukcí a jejich šířka je 16 bitů. Mikrokontroléry této řady obsahují rozšiřující příslušenství např. podporu USB.

Pro aplikaci ve vytvářeném adaptéru je nejvhodnější volit mikrokontroléry z řady Mid-Range. Výběr z této řady byl proveden na základě následujících požadavků:

- paměť programu typu Flash o kapacitě min. 1024 slov,
- paměť dat min. 128 bytů,

- USART,
- paměť EEPROM.

Požadavek na velikost paměti programu a dat je vztažen k velikosti obslužného programu a počtu používaných proměnných. Rozhraní USART bude využito pro sériovou komunikaci. Paměť EEPROM bude využita pro uložení kalibrační konstanty a řídicích konstant.

Pro výběr mikrokontrolérů dle specifikovaných požadavků byla využita webová aplikace společnosti Microchip zvaná MAPS (Microchip Advanced Part Selector). Specifikovaným požadavkům odpovídá 33 mikrokontrolérů. Stručný přehled je uveden v Tab.3.2.

<b>PIC16F6XX a PIC16F6XXA:</b> PIC16F627A, PIC16F628A, PIC16F687, PIC16F688, PIC16F648A, PIC16F690, PIC16F689.
<b>PIC16F7XX a PIC16F7X:</b> PIC16F727, PIC16F777, PIC16F77, PIC16F726, PIC16F767, PIC16F76, PIC16F747, PIC16F724, PIC16F74, PIC16F737, PIC16F723, PIC16F73, PIC16F722.
<b>PIC16F87XA a PIC16F8XX a PIC16F8X:</b> PIC16F887, PIC16F886, PIC16F884, PIC16F883, PIC16F87, PIC16F88, PIC16F882, PIC16F873A.
<b>PIC16F9XX:</b> PIC16F946, PIC16F917, PIC16F916, PIC16F914, PIC16F13.

Tab. 3.2: Mikrokontroléry vhodné pro použití v adaptéru.

Pro použití v adaptéru byl zvolen mikrokontrolér PIC16F13. Základní parametry tohoto mikrokontroléru jsou:

- paměť programu typu Flash o kapacitě 4096 slov,
- paměť dat 256 bytů,
- USART,
- paměť EEPROM 256 bytů.

Jednou z doplňkových funkcí je tzv. Fail-Safe clock monitor. Tato funkce umožňuje monitorování funkce externího taktovacího oscilátoru. V případě, že je jeho chod vyhodnocen jako nepřesný, zastoupí ho interní přesně kalibrovaný oscilátor. Zatímco externí oscilátor je možno resetovat.

### 3.2.2 Podpůrné obvody mikrokontroléru

#### Oscilátor

Modul oscilátoru zvoleného mikrokontroléru lze nastavit do jednoho z osmi podporovaných stavů [13]:

1. *EC* - připojení externího zdroje taktovacího kmitočtu na vstupu OSC1/CLKIN s dostupností na výstupu OSC2/CLKOUT,
2. *LP* - připojení vnějšího krystalového nebo keramického oscilátoru do 32kHz,
3. *XT* - připojení vnějšího krystalového nebo keramického oscilátoru do 4MHz,
4. *HC* - připojení vnějšího krystalového nebo keramického oscilátoru do 20MHz,
5. *RC* - připojení externího RC oscilátoru na vstup OSC1/CLKIN s výstupem  $f_{osc}/4$  na OSC2/CLKOUT,
6. *RCIO* - připojení externího RC oscilátoru na vstup OSC1/CLKIN a bez vnějšího výstupu,
7. *INTOSC* - interní oscilátor s  $f_{osc}/4$  na výstupu OSC2/CLKOUT,
8. *INTOSCIO* - interní oscilátor bez vnějšího výstupu.

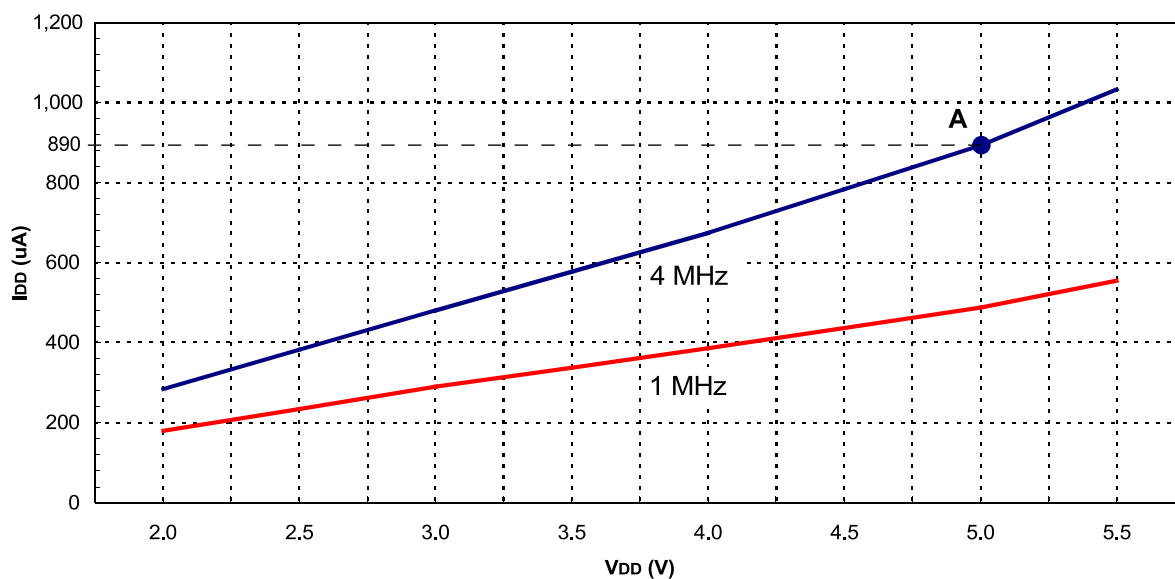
RC oscilátory se obecně vyznačují nízkou stabilitou, nepřesností nastavení taktovacího kmitočtu a relativně vysokým proudovým odběrem [27]. Pro použití v adaptéru byl proto zvolen externí krystalový oscilátor.

Oscilační kmitočet přímo ovlivňuje proudový odběr mikrokontroléru (viz. Obr.3.6). Byl proto zvolen kmitočet 4MHz (stav XT), který je kompromisem mezi výpočetním výkonem mikrokontroléru a jeho proudovým odběrem. Předpokládaný teoretický proudový odběr mikrokontroléru, který činí  $890\mu A$  je vyznačen na Obr.3.6.

#### Převodníky TTL/RS232

Mikrokontroléry při komunikaci pracují s napěťovými úrovněmi TTL (5V). Komunikace dle standardu RS-232 však probíhá na úrovních odlišných a tedy nekompatibilních. Pro zajištění kompatibility je nutné využít převodník TTL/RS232. Vhodným řešením je převodník ve formě integrovaného obvodu.

Na dnešním trhu lze nalézt integrované převodníky od společností Intersit, STMicroelectronics, Maxim IC, Microchip a dalších. Sestávají se z jednoho nebo několika převodníků TTL na RS232 (ovladač) a RS232 na TTL (přijímač). Běžně se vyrábějí součástky se dvěma ovladači a dvěma přijímači. Pro konstruované zařízení je tento



Obr. 3.6: Závislost odebíraného proudu na napájecím napětí při taktovacích kmitočtech 1 a 4 MHz ve stavu XT [13].

počet víc než dostačující, bude využita pouze polovina. Na trhu je možné nalézt součástky pouze s jedním ovladačem a jedním přijímačem. Cena těchto integrovaných obvodu je však paradoxně vyšší.

Vlastnosti jednotlivých integrovaných převodníků se od sebe příliš neliší. Jejich přehled uveden v Tab.3.3. Z důvodu dostupnosti a nižší spotřeby byl pro použití v zařízení vybrán obvod MAX232 od výrobce Maxim IC.

Při srovnání bylo čerpáno z literatury [14] [22] [23] [24] [25] [26].

Název	Výrobce	Napájecí napětí	Napájecí proud (typ.)	Ovladač	Přijímač
HIN232	Intersit	5V	5mA	2x	2x
ICL232	Intersit	5V	5mA	2x	2x
ST232	STMicroelectronics	5V	5mA	2x	2x
MAX232	Maxim IC	5V	4mA	2x	2x
TC232	Microchip	5V	5mA	2x	2x
MAX232	Texas instrument	5V	8mA	2x	2x

Tab. 3.3: Srovnání použitelných typů převodníků TTL/RS232.

### Stabilizátory napájecího napětí

Většina mikrokontroléru PIC včetně zvoleného využívá napájecí napětí 5V a nižší. Jelikož bude konstruované zařízení napájeno napětím 7,5V, je nutné využít stabilizátor. Na trhu s pozitivními stabilizátory nízkého napětí dnes dominuje STMicroelectronics, proto je výběr proveden z nabídky této společnosti.

V České republice je běžně dostupný např. 5V stabilizátor 78L05 nebo jeho inovovaná a několikanásobně dražší varianta LE50. Tyto součástky jsou schopny (při použití chladiče) do zařízení dodávat proud až 100mA. Což plně dostačuje zamýšlenému využití. Mikrokontrolér i převodník MAX232 mají malý proudový odběr v řádu jednotek mA. Stabilizátor LE50 má výrobcem udávanou přesnost nastavení napětí  $\pm 2\%$  [19]. U 78L05 výrobce uvádí  $\pm 4\%$  [18]. Oba integrované obvody jsou pro konstrukci použitelné. S přihlédnutím na dostupnost (SMD varianty) a nižší cenu byl pro konstrukci adaptéru vybrán stabilizátor 78L05 v pouzdře SO-8.

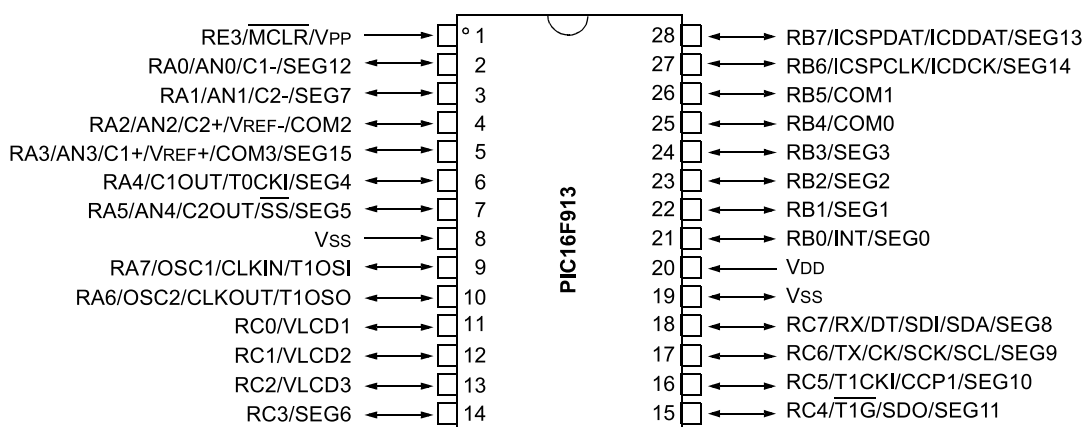


## 4 KONSTRUKCE HARDWAROVÉ ČÁSTI

### 4.1 Použité integrované obvody

#### 4.1.1 Mikrokontrolér PIC16F913

Zapojení vývodu zvoleného mikrokontroléru je uvedeno na Obr.4.1. Na vývod *VDD* je nutno přivést napájecí napětí v rozmezí 2V až 5,5V. Vývod *VSS* je nutno uzemnit. Na obvodový reset - vývod  $\overline{MCLR}$  - je nutno přivést napětí odpovídající logické 1. Z hlediska konstrukce budou využity vývody *TX* a *RX* pro sériovou komunikaci. Dále vývody *ICDDAT*, *ICDCK*, *VPP*, které slouží k ICSP (Sériové programování v cílovém obvodu – In Circuit Serial Programming) programování. Na vývody *OSC1* a *OSC2* bude připojen krystalový oscilátor.



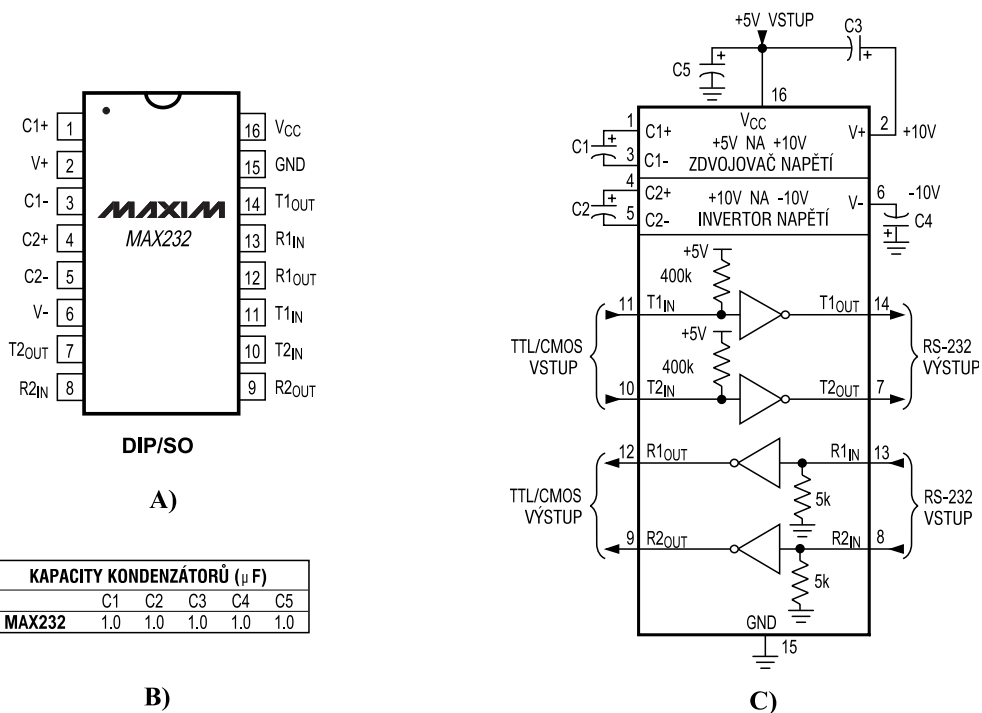
Obr. 4.1: PIC16F913 - zapojení vývodů pouzdra SOIC-28 [13].

#### 4.1.2 Převodník MAX232

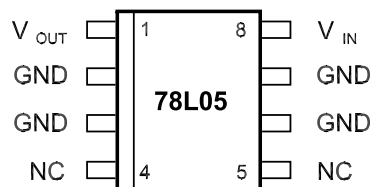
Zapojení vývodů převodníku TTL/RS232 je uvedeno na Obr.4.2 A). Pro správnou funkci vyžaduje integrovaný obvod doplnění externích kondenzátorů viz. Obr.4.2 C). Výrobce doporučené hodnoty jsou uvedeny na Obr.4.2 B). Pro konstrukci bude využit jeden ovladač - vývody *T1IN*, *T1OUT* a jeden přijímač - vývody *R1IN* a *R1OUT*.

#### 4.1.3 Stabilizátor napájecího napětí 78L05

Zapojení vývodů stabilizátoru je uvedeno na Obr.4.3. Zdroj napájecího napětí je připojen na vstup *VIN*. Stabilizované napětí 5V pro napájení adaptéru je k dispozici na výstupu *VOU*T.



Obr. 4.2: MAX232 - A) Zapojení vývodů pouzdra, B) Doporučené hodnoty kapacit, C) Funkční schéma. [14].

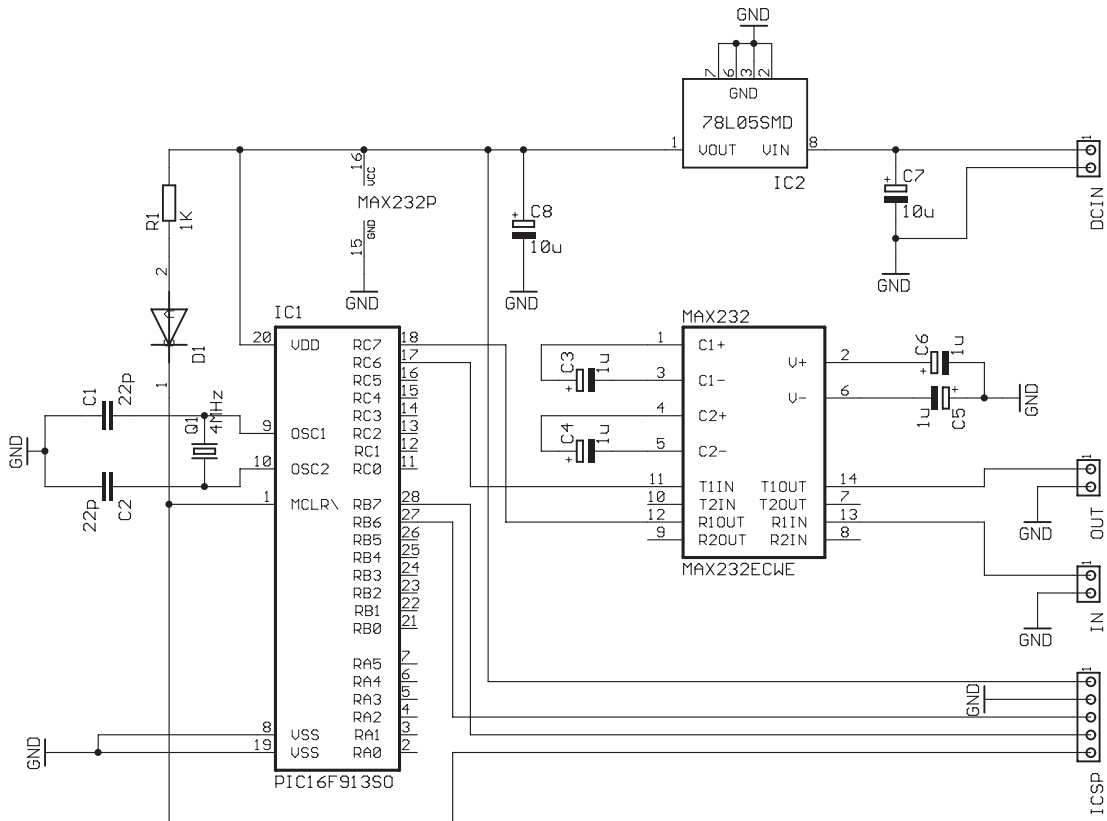


Obr. 4.3: 78L05 - Zapojení vývodů pouzdra S0-8 [18].

## 4.2 Schéma zapojení adaptéru

Schéma zapojení (Obr.4.4) bylo vytvořeno v programu EAGLE. Obsahuje výše zmíněné integrované obvody. Před a za stabilizátor byly zapojeny tantalové blokovací kondenzátory. Jejich použití v programu EAGLE vyžadovalo vytvoření pouzdra typu A dle rozměrů udávaných výrobcem [27]. Použitý mikrokontrolér rovněž nebyl obsažen v knihovně návrhového programu. Bylo proto nutné vytvořit součástku novou. Dle doporučení výrobce je mezi vývody  $\overline{MCLR}$  a  $VDD$  zařazen rezistor  $1k\Omega$ . Při sériovém programování je na vývodu  $\overline{VPP}$  napětí až 12V, vývod napájecího napětí mikrokontroléru a stabilizátor je vůči tomuto napětí chráněn diodou 1N4148. K vývodům  $OSC1$  a  $OSC2$  mikrokontroléru je dle doporučení výrobce zapojen krys-

talový oscilátor spolu s dvojicí keramických kondenzátorů hodnoty 22pF. Vývody *RX* a *TX* jsou spojeny s obvodem MAX232. MAX232 je zapojen s doporučenými kondenzátory hodnoty 1μF (viz. Obr.4.2 B)). Pro napájecí napětí, vstupní a výstupní datové vodiče byly zvoleny patice konektorů typu PSH02 se dvěma vývody. Pro sériové programování byla zvolena patice stejného typu s pěti vývody.

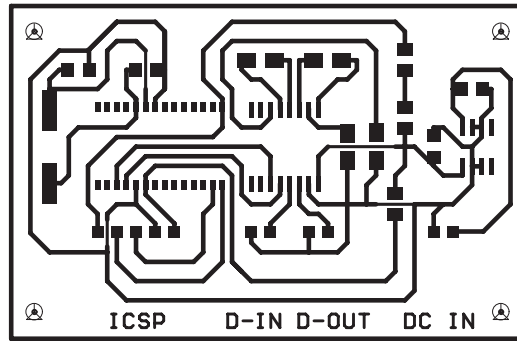


Obr. 4.4: Schéma zapojení adaptéru.

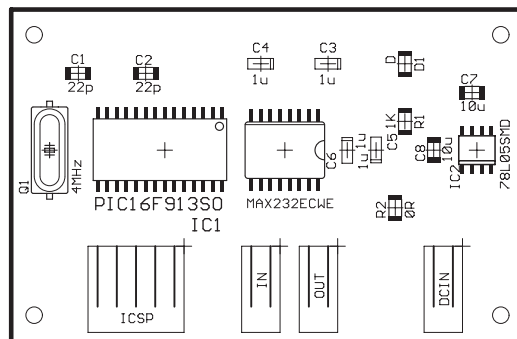
Ze schématu byla vytvořena deska plošných spojů (Obr.4.5). Šířka běžných spojů byla zvolena 0,6mm. Pouze spoje mezi vývody pasivních součástek mají šířku 0,3mm. Pro přemostění jednoho křížení byl využit nulový rezistor. Z důvodu předpokládané ruční montáže jsou rozestupy mezi součástkami záměrně větší. Deska plošných spojů je z jednostranně plátované mědi. Má velikost 44x68mm. Pro vyloučení mikroskopických přerušení byly všechny spoje ohmicky proměřeny.

Umístění jednotlivých součástek je uvedeno na osazovacím schématu na Obr.4.6. Veškeré zvolené součástky jsou typu SMD. Pro zvýšení mechanické pevnosti kontaktů byly patice konektorů umístěny na spodní stranu DPS. Pájení bylo provedeno na běžné hrotové pájecí stanici. Seznam součástek je uveden v Tab.4.1.

Na Obr.4.7 je zobrazena finální podoba realizovaného adaptéru. Při napájecím napětí 7,5V zařízení odebírá ze zdroje proud 5,25mA.



Obr. 4.5: Návrh desky plošných spojů. Pohled z hora.

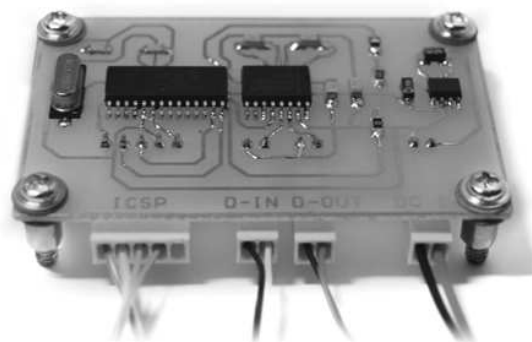


Obr. 4.6: Osazovací schéma. Pohled z hora.

### 4.3 Kompatibilita zapojení s jinými typy PIC

Jelikož ceny mikrokontrolérů plně podléhají zákonu trhu, tedy nabídky a poptávky. Cena konkrétního typu se může v průběhu času zvyšovat zatímco cena jiného typu může naopak klesat. Při návrhu zařízení je proto výhodné definovat mikrokontroléry, které mohou v zapojení konkrétně použitý typ zastoupit a umožnit tak případné snížení výrobních nákladů. Navržená DPS je kompatibilní například s mikrokontroléry uvedenými v Tab.4.2. Pro uvedené mikrokontroléry je však vždy nutné provést kontrolu a případnou úpravu obslužného programu dle konkrétní specifikace typu, který je plánován využít jako zástupný.

Při vypracování Tab.4.2 bylo využito literatury [12] [28] [29] [30] [31] [32] [33] [34] [35] [36] [37].



Obr. 4.7: Realizované zařízení.

Označení ve schématu	Název součástky	Popis	Pozdro	Výrobce
C8, C7	CTS 10M/16V	Tantalový kondenzátor 10 $\mu$ F	A	Shjinpei
C3, C4, C5, C6	CTS 1M/16V	Tantalový kondenzátor 1 $\mu$ F	A	Shjinpei
Q1	Q 4MHZ-SMD	Krystal 4Mhz	HC49US	Auris
IC2	78L05 SMD	Stabilizátor 5V	SO-8	STM
MAX232	MAX232CWE	Převodník RS232/TTL	SO-16	Maxim IC
IC1	PIC16F913	Mikrokontrolér	SO-28	Microchip
D1	1N4148 SMD	Dioda	1206	TS
C1, C2	CK1206 22P/50V NPO	Keramický kondenzátor 22pF	1206	Yageo
DCIN, IN, OUT	PSH02-02WG	Konektorová patice - 2 piny	-	-
ICSP	PSH02-05WG	Konektorová patice - 5 pinů	-	-
R1	R1206 1K	Rezistor 1k $\Omega$	1206	-
R0	R1206 0R	Nulový rezistor	1206	-

Tab. 4.1: Seznam všech součástek použitých pro konstrukci.

<b>PIC16F7XX a PIC16F7X:</b> PIC16F727, PIC16F726, PIC16F767, PIC16F76, PIC16F737, PIC16F723, PIC16F73, PIC16F722.
<b>PIC16F8XX a PIC16F8X</b> PIC16F886, PIC16F883, PIC16F882, PICF873A.
<b>PIC16F9XX</b> PIC16F916, PIC16F13.

Tab. 4.2: Pinově kompatibilní mikrokontroléry.

## 4.4 Úprava zapojení pro připojení bezdrátového modulu

V provozu bude zařízení připojeno na bezdrátový modul. Z hlediska technologie lze vybírat mezi moduly WI-FI, ZigBee, Bluetooth nebo RF.

Naprostá většina modulů není kompatibilní s úrovněmi standardu RS-232 – nepoužívá záporné napětí. Podporované vstupní úrovně sériového signálu jsou do 3,3V.

Z tohoto důvodu by v případě, že by byl připojen bezdrátový modul, bylo nutné odstranit připojení výstupního pinu Tx mikrokontroléru na převodník MAX232. A připojit ho přímo na vstup bezdrátového modulu. Dále by bylo nutné snížit úroveň výstupního signálu mikrokontroléru na úroveň vyhovující bezdrátovému modulu. Což lze realizovat snížením napájecího napětí mikrokontroléru z 5V na 3,3V. Například použitím druhého stabilizátoru v napájecí větvi mikrokontroléru.

## 5 REALIZACE SOFTWAREVÉ ČÁSTI

Vývojový diagram hlavní části programu je uveden na Obr.5.2. Hlavní část představuje nekonečný cyklus, ve kterém se program nachází.

Program začíná spuštěním procedury *nacteni\_konstant*, která slouží k prvotnímu vyčtením konstant z datové paměti EEPROM a jejich uložení do pomocných proměnných. K tomu je využita posloupnost příkazů uvedená v [13]. Mezi jednotlivými operacemi čtení bylo nutné zařadit čekací smyčky, bez kterých funkce nefungovala. Zdrojový kód procedury je uveden v příloze B.1. Datová paměť EEPROM obsahuje 16-bitovou korekční konstantu o dvou složkách (nižší a vyšší) a konstantu maximálního počtu přijatých číselných znaků.

Po načtení konstant je provedena inicializace. Což představuje uložení ukazatelů do pomocných proměnných a nastavení obvodu UART do asynchronního módu s přenosovou rychlostí 2400Bd. Následně je spuštěna procedura pro smazání proměnných.

Dále se program pohybuje v cyklu obsahujícím tyto hlavní procedury:

- *data\_na\_vstupu* – procedura pro příjem řetězce,
- *vstupni\_uprava* – procedura pro vstupní úpravu řetězce,
- *prevod\_BCD\_bin* – procedura pro převod BCD řetězce na binární číslo,
- *mul\_32x16* – procedura pro násobení korekční konstantou,
- *prevod\_bin\_BCD* – procedura pro převod binárního čísla na BCD řetězec,
- *vystupni\_uprava* – procedura pro výstupní úpravu řetězce,
- *odeslani\_retezce* – procedura pro odeslání řetězce.

A dále obsahuje příkaz pro nulování čítače Watchdog, proceduru pro kontrolu stability externího oscilátoru, skok na inicializační část programu (tzv. restart programu).

Čítač Watchdog není nutné nastavovat, jelikož je na zvoleném typu mikrokontroléru při jeho povolení v konfiguračním slově *\_\_CONFIG* automaticky nastaven na periodu cca 16ms [13].

Kromě procedur čtení a kontroly stability externího krystalu jsou všechny ostatní řízeny tzv. řídicími registry *PROCES\_CONTROL* a *PROCES\_CONTROL2*, jejich struktura je uvedena na Obr.5.1.

Registr	Bit 7	Bit 6	Bit 5	Bit 4	Bit 3	Bit 2	Bit 1	Bit 0
PROCES_CONTROL	SC1	SC2	SC3	SC4	SC5	SC6	SC7	SC8
PROCES_CONTROL2	SC9	SC10	SC11	SC12	---	---	---	---

Obr. 5.1: Struktura řídicích registrů.

Nastavení jednotlivých bitů (logická 1) indikuje následující události:

- *SC1* – Přijetí a ověření ASCII „start znaku“ T.
- *SC2* – Přijetí a ověření prvního „stop znaku“ (CR).
- *SC3* – Přijetí druhého „stop znaku“ (LF).
- *SC4* – Ověření druhého „stop znaku“ (LF).
- *SC5* – Povolení spuštění procedury *vstupni\_uprava*.
- *SC6* – Povolení spuštění procedury *prevod\_BCD\_bin*.
- *SC7* – Indikace převodu prvního znaku v proceduře *vystupni\_uprava*.
- *SC8* – Povolení spuštění procedury *mul\_32x16*.
- *SC9* – Povolení spuštění procedury *prevod\_bin\_BCD*.
- *SC10* – Povolení spuštění procedury *vystupni\_uprava*.
- *SC11* – Povolení spuštění procedury *odeslani\_retezce*.
- *SC12* – Povolení skoku na inicializaci, tedy tzv. restartu programu.

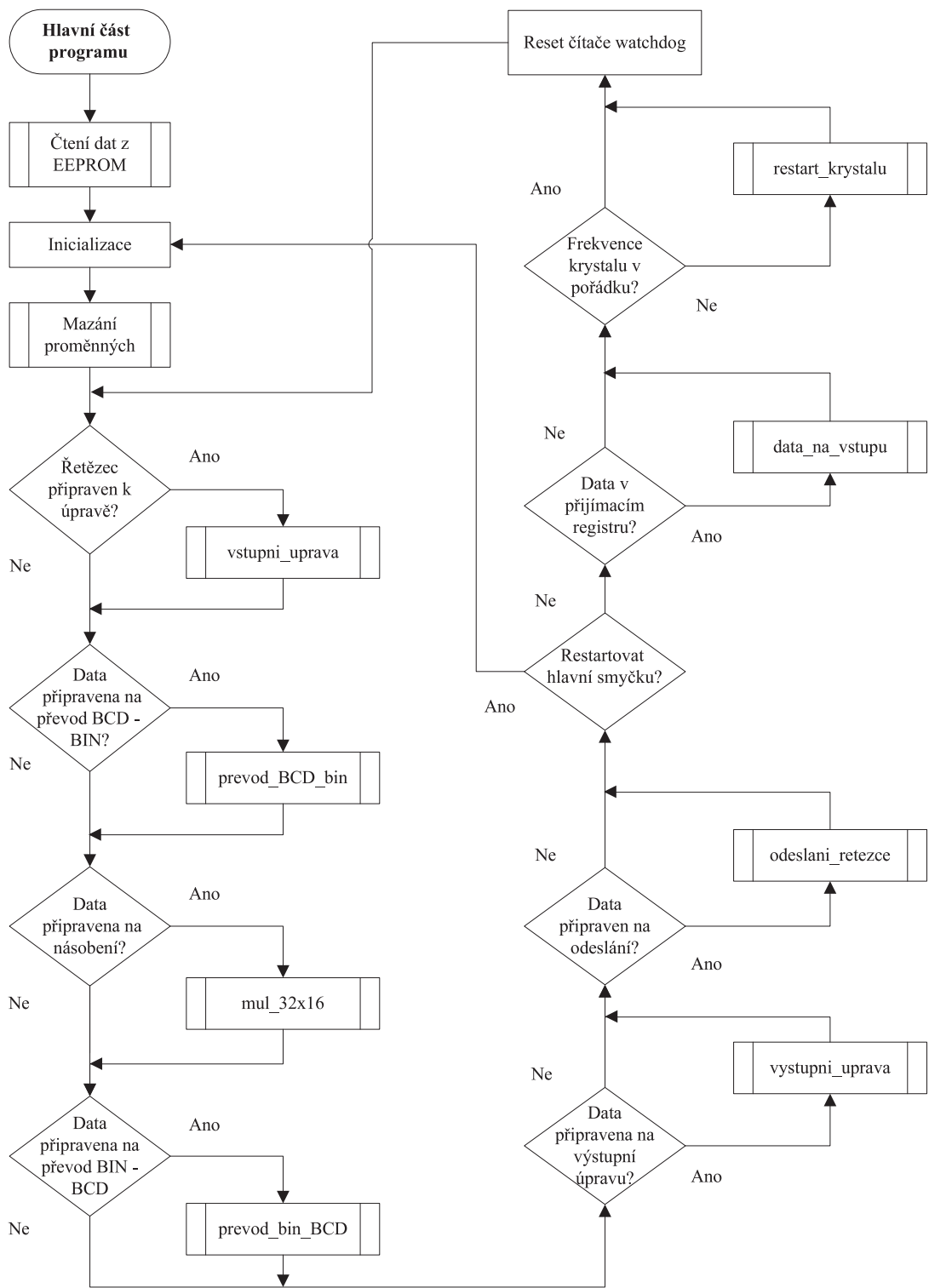
## 5.1 Hlavní procedury obslužného programu

### 5.1.1 Příjem řetězce

Zdrojový kód procedury je uveden v příloze B.2. Procedura obstarává příjem celého řetězce a průběžně kontroluje, zda má řetězec správný formát a neobsahuje chyby.

Procedura je spuštěna nastavením bitu *RCIF* v registru *PIR1*. Což indikuje naplnění přijímacího registru *RCREG* přijímače UART daty znaku. Pokud je přijímaný znak první, proběhne nejdříve kontrola, zda se jedná o „start znak“ vyjadřující písmeno T v ASCII. Současně s kontrolou je do pomocné proměnné *CMAXDIG*





Obr. 5.2: Vývojový diagram hlavní části programu.

přesunuta hodnota z registru *MAXDIG* vyjadřující maximální počet přijímaných číselných znaků. Pokud kontrola neproběhne úspěšně, je celý program restartován.

Pokud proběhne úspěšně je nastaven bit *SC1* indikující přijetí „start znaku“ a procedura je ukončena.

Při dalším spuštění procedury (nová data v registru *RCREG*) je kontrola start znaku vynechána a kontroluje se zda přijatý znak vyjadřuje číselnou hodnotu či ne.

Pokud ano, je znak převeden z ASCII na BCD formát odečtením hexadecimálního čísla 30 a uložen do přijímací paměti. Také je dekrementován registr *CMAXDIG* určující maximální počet následně přijímaných znaků (+1). Následně je testována nenulovost tohoto registru. V případě, že je hodnota registru nulová, je nastaven bit *SC12* a po návratu z procedury je celý program restartován (řetězec obsahoval počet číselných znaků vyšší, než bylo povolené maximum).

Pokud se nejedná o znak vyjadřující číselnou hodnotu, je provedena kontrola, zda jde o první „stop znak“, tedy znak CR v ASCII. V případě, že se jedná o znak jiné hodnoty je nastaven bit *SC12* a po návratu z procedury je celý program restartován. Pokud je znak ověřen, je nastaven bit *SC2* indikující správný příjem prvního „stop znaku“ a poté je procedura ukončena.

Při následném spuštění procedury je provedena kontrola druhého „stop znaku“, tedy znaku LF v ASCII. Pokud přijatý znak nemá tuto hodnotu, je nastaven bit *SC12* a po návratu z procedury je program restartován. Pokud je přijatý znak shodný s předpokládanou hodnotou, je nastaven bit *SC4* indikující správné přijetí druhého „stop znaku“. Na konci procedury je povoleno spuštění následující funkce (vstupní úprava) a vypnut kontinuální příjem přijímače UART. Výstupem funkce je řetězec uložený v registrech *P0* až *P11*, kde znaky vyjadřující číselnou informaci jsou převedeny na čísla ve formátu BCD a ukončující znaky jsou ponechány ve formátu ASCII.

### 5.1.2 Vstupní úprava

Zdrojový kód procedury je uveden v příloze B.3. Procedura slouží k oddělení číselných hodnot (tj.znaků vyjadřujících číslo) v řetězci od hodnot ukončujících znaků a k uložení číselných hodnot do paměti v pořadí vhodnějším pro následné zpracování.

Procedura začíná kontrolou, zda byl v řetězci přijat alespoň jeden znak vyjadřující číselnou informaci hodnoty změřené ultrazvukovým tloušťkoměrem. Pokud řetězec číselnou informaci neobsahoval, je procedura ukončena a celý program restartován. Pokud řetězec číselnou informaci obsahoval, do pomocných proměnných jsou nejdříve uloženy hodnoty „stop znaků“. Následuje nastavení ukazatele na začátek paměti, kam se má číselná informace z řetězce uložit. Následující cyklus od posledního registru projde celou přijímací paměť a znaky vyjadřující číslo uloží do nových registrů *R0* až *R7*. Cyklus končí dosažením začátku přijímací paměti (registru *P0*) a nastavením povolení pro následující proceduru (převod z BCD do binárního tvaru).

### 5.1.3 Převod řetězce z BCD do binárního tvaru

Vývojový diagram je uveden na Obr.5.3. Zdrojový kód procedury je uveden v příloze B.4. Po spuštění procedury jsou vymazány její pomocné proměnné. Následuje výpočet opakování převodu, který vychází z konstanty maximálního počtu přijatých čísel (proměnná *MAXDIG*) a proměnné vyjadřující počet čísel do překročení maximálního počtu přijatých čísel (proměnná *CMAXDIG*). Počet opakování je vyjádřen proměnnou *RMAXDIG* z které je následně vypočítán ukazatel na první převáděné číslo (první přijaté číslo resp. číslo s nejvyšším řádem).

Převod začíná přičtením tohoto čísla do paměti výsledku převodu. Následuje dekrementace počtu opakování a zjištění zda je nutné převod opakovat. Pokud ne, procedura končí povoláním následující procedury násobení. Pokud ano, je výsledek převodu uložen (zálohován) do pomocných proměnných *ADAT1* až *ADAT4*. Následně je paměť výsledku převodu dvakrát rotována vlevo. Tím je dosaženo vynásobení 4x. Přenos mezi registry je při rotaci paměti přenášen v bitu *C* registru *STATUS*. Po rotaci je k paměti výsledku přičtena zálohovaná hodnota z proměnných *ADAT1* až *ADAT4*. Tím je dosaženo celkového násobení 5x (včetně násobení rotací). V dalším kroku je výsledek převodu opět rotován vlevo, čímž je dosaženo celkového požadovaného násobení 10x. Po násobení je zvýšen obsah ukazatele. Následuje přičtení dalšího čísla k výsledku převodu, dekrementace počtu opakování a opět kontrola počtu opakování. Celý cyklus se opakuje až do splnění podmínky *RMAXDIG=0*.

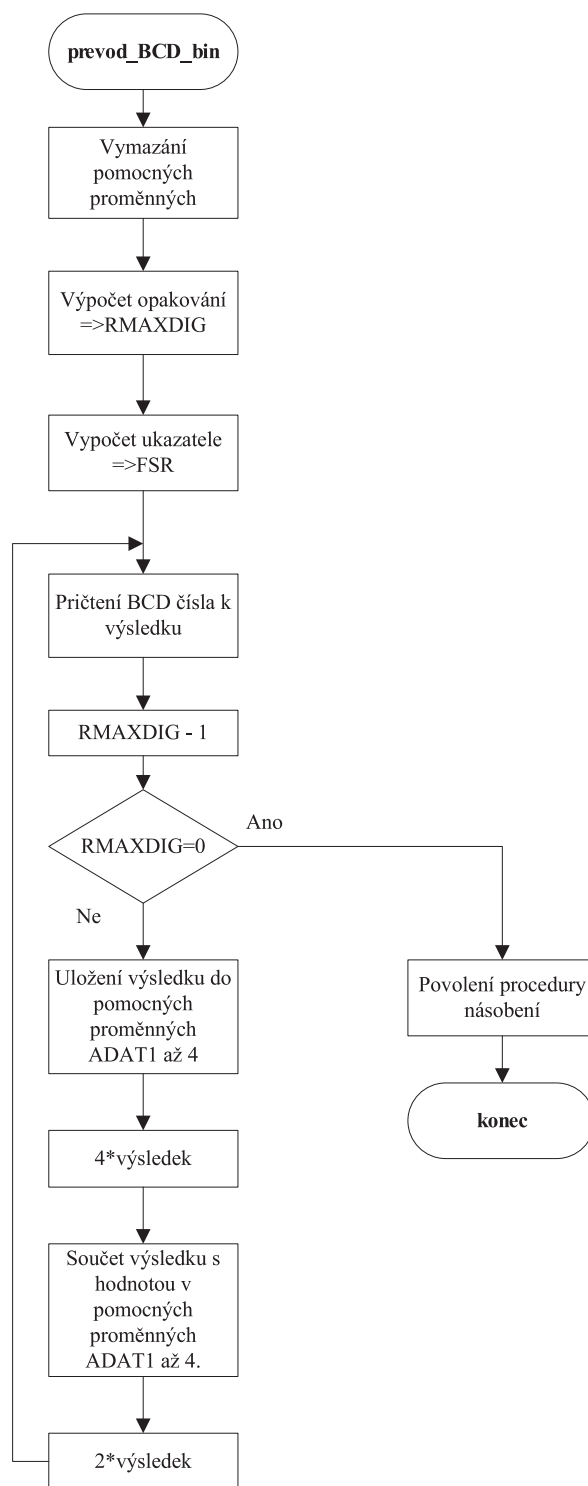
Výsledkem procedury je binární číslo uložené v registrech *V0* až *V3*.

### 5.1.4 Násobení

Vývojový diagram je uveden na Obr.5.4. Zdrojový kód procedury je uveden v příloze B.5. Procedura po spuštění načte z pomocných proměnných konstantu násobitele (korekční konstantu) o dvou složkách. Nižší část je načtena do proměnné *N0*, vyšší část do proměnné *N1*. K paměťovému prostoru výsledku převodu do binárního tvaru je přidáno dalších 16 bitů (2 registry).

Následně je zjištěno zda LSb násobitele má hodnotu logické 1. Pokud ano, je vstupní binární číslo (mezivýsledek) přičteno do registrů výsledku. Po této operaci je paměť s násobitelem rotována doprava. Bitová hodnota LSb násobitele se rotací nepřevádí do MSb. Vnitřní přenos LSb z *N1* do MSb v *N0* je však zajištěn. Paměť s mezivýsledkem je naopak rotována doleva. Přenos mezi registry mezivýsledku je zajištěn programově.

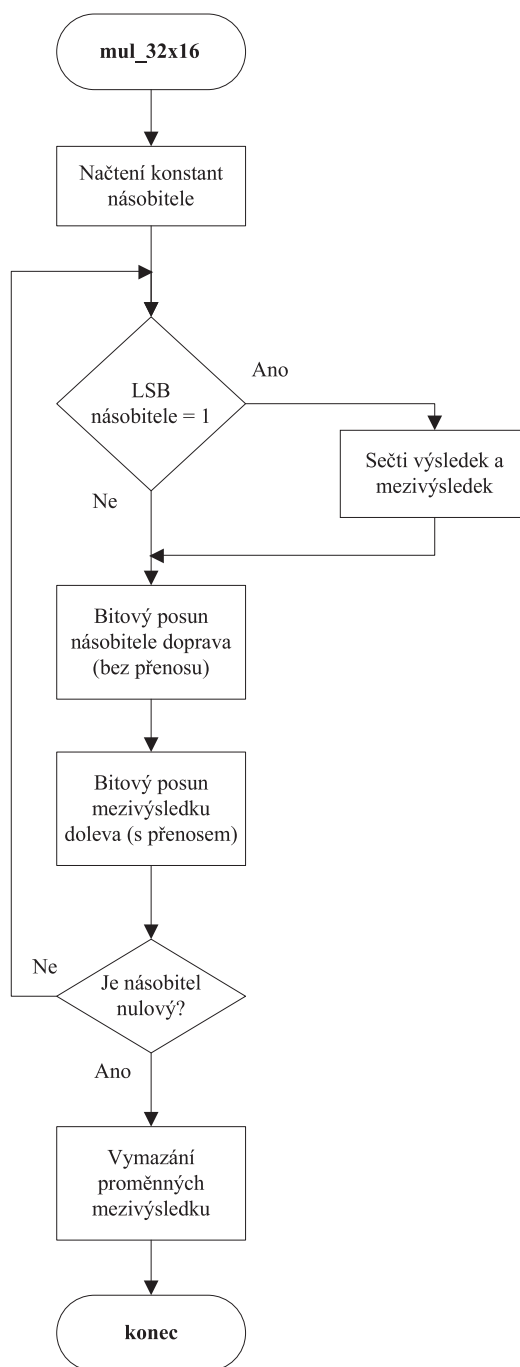
Po rotaci je zjištěno, zda má násobitel hodnotu nula. Pokud je nenulový, běh procedury pokračuje opětovným zjištěním zda LSb výsledku má hodnotu 1. Pokud



Obr. 5.3: Vývojový diagram procedury pro převod z BCD na binární formát.

však podmínka nulovosti násobitele splněna je, jsou vymazány proměnné mezivýsledku a nastaveno povolení pro následující proceduru (převod z binárního tvaru do BCD) a tím procedura končí.

Výsledkem procedury je binární číslo uložené v registrech *C0* až *C5*.



Obr. 5.4: Vývojový diagram procedury násobení.

### 5.1.5 Převod z binárního tvaru na BCD řetězec

Zdrojový kód procedury je uveden v příloze B.6. Procedura využívá principu popsaného v kapitole možnosti řešení. Rovnice však byly upraveny pro převod na

dekadická čísla o maximálně 13 číslicích a jsou uvedeny v příloze A.

Z hlediska rozsahu vstupní hodnoty je procedura značně nadimenzována. Za běžného provozu na jejím vstupu může být dekadické číslo o maximálně 10 číslicích. Větší rozsah vstupní hodnoty je umožněn záměrně pro případ, že by v budoucnu byla nutná změna korekční konstanty, na konstantu s větším počtem desetinných míst. Úprava procedury pro vyšší rozsah vstupní hodnoty je totiž záležitost problematická a pravděpodobně by si vyžádala přepsání větší části kódu.

Převod začíná od čísla nejnižšího řádu  $d_0$ . Do paměťového prostoru dvojice registrů  $BP0$  a  $BP1$  jsou pomocí podprogramu *add\_part* dle příslušné rovnice sečteny násobené hexadecimální číslice. Pro násobení je využit podprogram *mul\_by\_con*, který přebírá v pracovním registru uloženou hodnotu hexadecimálního číslice. Následně ji vynásobí číslem uloženým v pomocné proměnné  $MBCC$ . Po sečtení všech číslic dané rovnice je přičten výstupní registr (převodní funkce) odpovídající řádu právě převáděné číslice. V tomto případě se jedná o registr  $B0$ . Následně je volán podprogram *mod\_10*. Ten nejdříve zkontroluje nenulovost pomocných proměnných  $BP0$  a  $BP1$  a následně využitím odečítání nejdříve hodnoty 100, pak hodnoty 10 rozdělí hodnotu v pomocných proměnných na počty stovek, desítek a jednotek. Počet stovek je uložen v proměnné  $BPP2$ , desítek v proměnné  $BPP1$  a jednotky jsou uloženy v pracovním registru  $W$ . Tímto podprogram končí.

Po návratu do hlavní části procedury je hodnota v pracovním registru uložena do registru výstupu převodu, který odpovídá řádu právě převáděné číslice. Ve zmíněném případě do registru  $B0$ . Počet desítek je z proměnné  $BPP1$  přičten do registru řádu o jedno vyššího ( $B1$ ), počet stovek do řádu o dva vyššího než-li převáděná číslice ( $B2$ ).

Popsaným způsobem se provedou všechny převody od  $d_0$  do  $d_{12}$ . Procedura končí nastavením  $SC10=1$ , tedy povolením následující procedury výstupní úpravy. Výstupem procedury je 13 BCD čísel uložených v registrech  $B0$  až  $B12$ .

### 5.1.6 Výstupní úprava

Vývojový diagram je uveden na Obr.5.5. Zdrojový kód procedury je uveden v příloze B.7. Procedura začíná vložením hodnoty d'252' do registru  $BCA$ . Tento registr je v paměti umístěn na místě desetinné čárky a hodnota 252 po průchodu podprogramem pro převod na ASCII (přičtení h'30') dá ve výsledku hodnotu reprezentující znak desetinné čárky v ASCII.

Následuje nastavení ukazatele na konec paměti výsledku převodu z binárního do BCD formátu, tedy registr  $B12$ . Ukazatel je nastaven z proměnné  $BCOUNT$ . Hodnota je z registru ( $B12$ ) vyčtena a je ověřena její nulovost.

Pokud je hodnota nulová ověří se, zda již bylo podprogramem pro převod na ASCII převedeno nějaké číslo ( $SC7$ ). Pokud ano ( $SC7=1$ ), je číslo v registru převedeno z BCD na ASCII podprogramem *preved\_na\_ASCII*. Pokud ne ( $SC7=0$ ), je inkrementována proměnná *BCOUNT*.

Pokud je hodnota vyčtená z registru *B12* nenulová, je spuštěn podprogram pro převod z BCD na ASCII *preved\_na\_ASCII*. Prvním spuštěním tohoto podprogramu je nastavena proměnná *SC7*.

Následně je zjištěno, zda ukazatel (*FSR*) ukazuje na konec paměti. Pokud ne, je jeho hodnota inkrementována a procedura pokračuje opětovným vyčtením konstanty z dalšího paměťového místa s následnou kontrolou nulovosti.

Pokud je hodnota ukazatele (*FSR*) shodná s adresou konce paměti, je zjištěno zda proměnná *BCOUNT* má hodnotu větší, než-li je hodnota adresy registru před desetinnou čárkou (*B6*).

Pokud ne, je povolena následující procedura (odeslání řetězce) a odstraněno povolení pro proceduru vstupní úpravy. Tímto procedura končí.

Pokud ano, je do proměnné *BCOUNT* uložena adresa registru před desetinnou čárkou (*B6*) a do tohoto registru je vložena hodnota h'30', tedy číslo nula v ASCII. Následně je povolena následující procedura (odeslání řetězce) a odstraněno povolení pro proceduru vstupní úpravy.

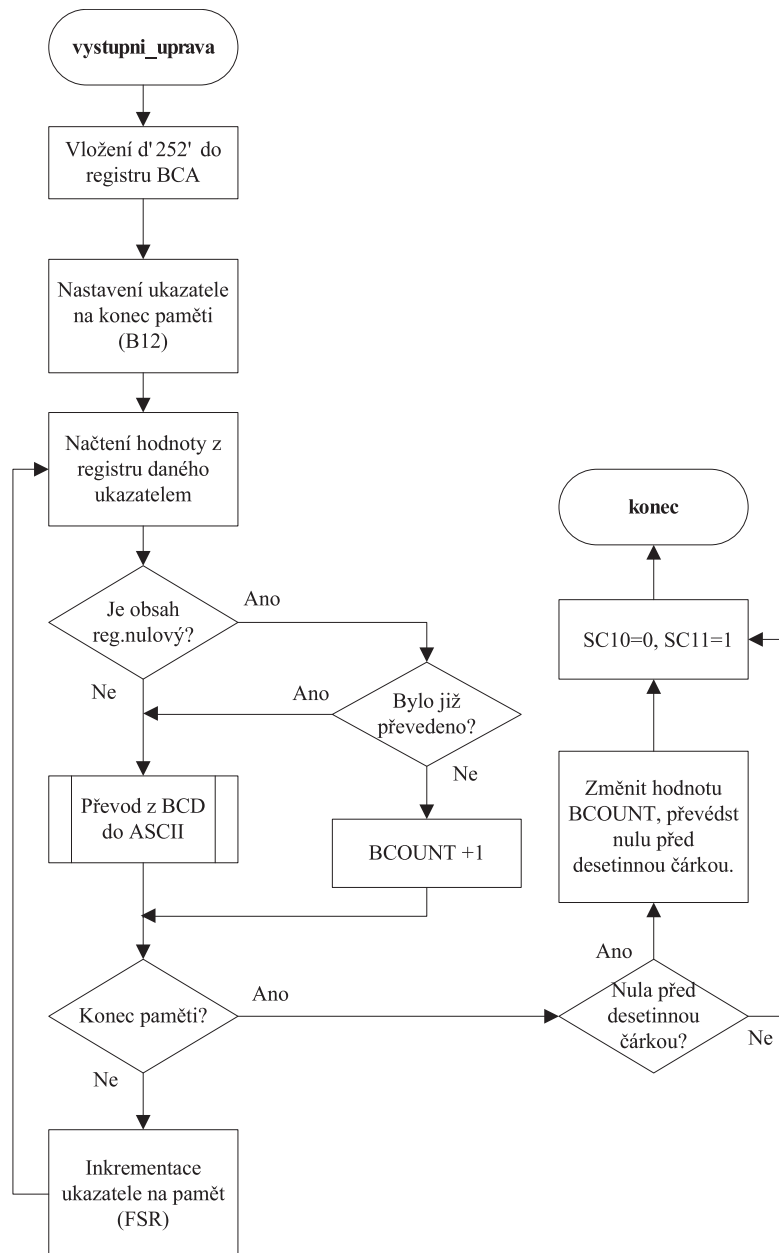
Výstupem procedury je část paměti *B0* až *B12* převedená na znaky v ASCII a proměnná *BCOUNT* určující první číslo, které se bude v následující proceduře (odeslání řetězce) odesílat.

### 5.1.7 Odeslání řetězce

Zdrojový kód procedury je uveden v příloze B.8. Procedura začíná nastavením vysílače obvodu UART pro vysílání přenosovou rychlostí 9600Bd. Následuje načtení proměnné *BCOUNT* do ukazatele. V proměnné *BCOUNT* je uložena adresa prvního odesílaného znaku.

Za pomocí ukazatele je znak vyčten z paměti a je zavolán podprogram pro odeslání znaku. V tomto podprogramu je hodnota znaku vložena do vysílacího registru *TXREG* a následně je v cyklu testován bit *TXIF* registru *PIR1*. Pokud je bit *TXIF* nastaven končí testování. Nastavení tohoto bitu indikuje přenos znaku do vysílacího posuvného registru *TSR*.

Podprogram se vrací do místa, kde byl původně zavolán a následuje kontrola ukazatele na konec vysílané paměti. Pokud hodnota ukazatele není shodná s adresou konce paměti, je inkrementován a následuje další vyčtení z registru a odeslání až do chvíle, kdy je konec paměti dosažen.



Obr. 5.5: Vývojový diagram procedury pro výstupní úpravu.

Po dosažení konce paměti jsou pomocí funkce pro odeslání znaku odeslány ukončující znaky CR a LF. Následně je zrušeno povolení pro proceduru odeslání řetězce a nastaven bit SC12. Což způsobí restart programu po návratu do hlavní smyčky.



## 5.2 Ověření funkčnosti

Ověření funkčnosti bylo provedeno za použití osobního počítače vybaveného dvěma sériovými porty. Zapojení je uvedeno na Obr.5.6.

Na počítači byly spuštěny dvě instance programu Terminál v1.9b (viz. Obr.5.7). V instanci nastavené na port připojený na přijímací vodiče adaptéru byla nastavena přenosová rychlost 2400Bd, v instanci nastavené na port připojený na vysílací vodiče adaptéru byla nastavena přenosová rychlost 9600Bd.

Pro simulaci běžných pracovních podmínek bylo vytvořeno makro s typickým vstupním řetězcem a nastavena perioda opakování 300ms. Poté bylo odesílání spuštěno. V druhé instanci byly kontrolovány přijímané řetězce.

Pomocí funkce counter programu Terminal byla při snížení vysílací periody zjištěna maximální rychlost zpracování signálu. Za jednu sekundu je zařízení schopno zpracovat cca 10 řetězců. Což je trojnásobek zadáním požadované rychlosti.

Programem Terminal byly taktéž simulovány chybové stavy vstupního řetězce:

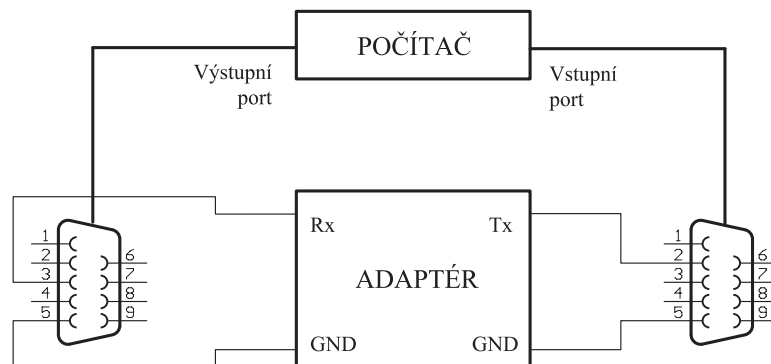
- start znak neodpovídá ASCII znaku T,
- počet číselných znaku v řetězci je vyšší než nastavený,
- první ukončující znak neodpovídá ASCII znaku CR,
- druhý ukončující znak neodpovídá ASCII znaku LF,
- mezi start znakem a ukončujícími znaky není vložen žádný znak vyjadřující číselnou hodnotu,
- mezi číselnými znaky vloženy nečíselné znaky,
- náhodná sekvence znaků.

Všechny tyto chybové stavy zařízení filtruje a na výstup neodesílá žádné informace.

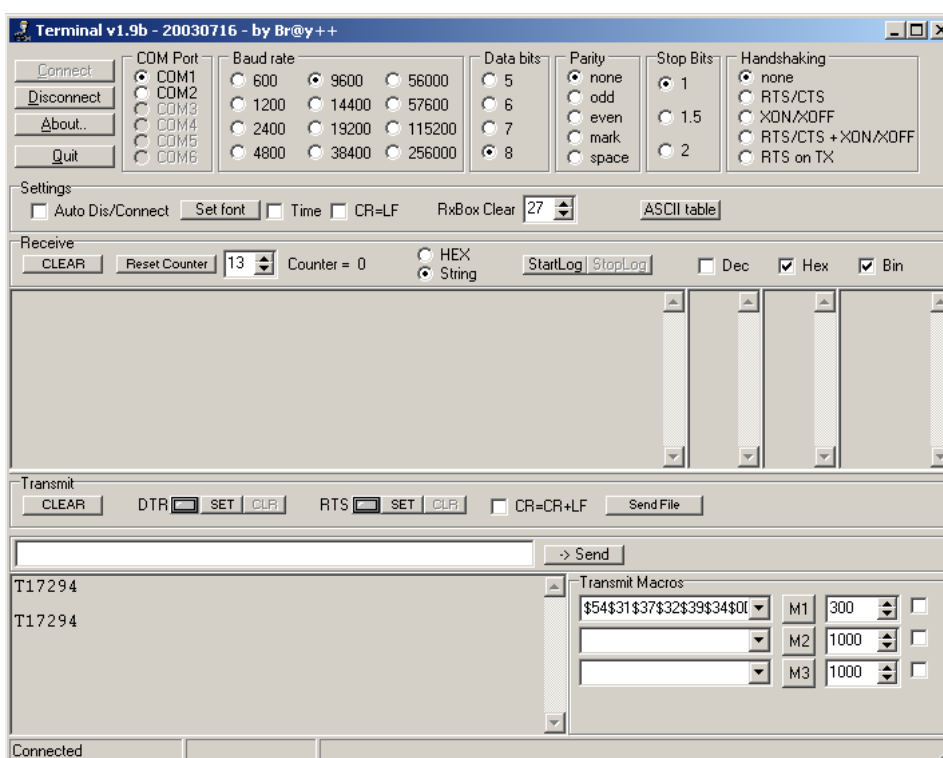
## 5.3 Přenositelnost obslužného programu

Obslužný program se vzhledem ke zvolenému typu mikrokontroléru vyznačuje dvěma specifiky:

- nastavení „předděliče“ čítače Watchdog je provedeno automaticky,
- v hlavní smyčce programu se nachází procedura pro kontrolu stability externího oscilátoru.



Obr. 5.6: Blokové schéma propojení počítače s adaptérem.



Obr. 5.7: Instance programu Terminal - příjem řetězce na počítači.

V případě, že by bylo nutné změnit cílovou součástku, je nutno zabezpečit odstranění kontroly externího oscilátoru, pokud ji mikrokontrolér nepodporuje. Případně nastavit čítači Watchdog správný „předdělič“.

Obslužný program byl kromě mikrokontroléru PIC16F913 testován také na mikrokontroléru PIC16F873A.

## 6 ZÁVĚR

V práci jsou stručně popsány varianty řešení dílčích částí zadaného úkolu. Následuje popis hardwarové konstrukce adaptéru a popis funkce obslužného programu pro mikrokontrolér. V praktické části práce byla navržena deska plošných spojů, která byla osazena zvolenými součástkami včetně mikrokontroléru. Mikrokontrolér byl naprogramován obslužným programem. Funkce zařízení byla ověřena na typických vstupních datech a byla také ověřena schopnost zařízení filtrovat chybné vstupní data. Vytvořený adaptér splňuje svými parametry požadavky zadání.

## LITERATURA

- [1] GOFTON, P.W. *Sériová komunikace*. Přeložil Bohumil Kvapil. Vydání 1. Praha: Grada Publishing, 2001. 240s. ISBN 80-7169-131-3.
- [2] HRBÁČEK, Jiří. *Komunikace mikrokontroléru o okolím 1*. Vydání 1. Praha: BEN - technická literatura, 1999. 152s. ISBN 80-86056-42-2.
- [3] HRBÁČEK, Jiří. *Komunikace mikrokontroléru o okolím 2*. Vydání 1. Praha: BEN - technická literatura, 2000. 148s. ISBN 80-86056-73-2.
- [4] HRBÁČEK, Jiří. *Moderní učebnice programování PIC 1.díl*. Vydání 1. Praha: BEN - technická literatura, 2004. 77s. ISBN 80-7300-136-5.
- [5] HRBÁČEK, Jiří. *Moderní učebnice programování PIC 2.díl*. Vydání 1. Praha: BEN - technická literatura, 2007. 140s. ISBN 978-80-7300-137-7.
- [6] JASIO, Lucio Di; WILMSHURST, Tim; IBRAHIM, Dogan et al. *PIC Microcontrollers: Know It All*. Oxford: Elsevier, 2008. 910s. ISBN 978-0-7506-8615-0.
- [7] PALACHERLA, Amar. *AN555 - Software Implementation of Asynchronous Serial I/O*. Chandler: Microchip, 2002. 38s. [cit. 18. 5. 2009]. Dostupné na webu: <<http://www.microchip.cz>>.
- [8] PAYSON, John. *Binary to BCD unpacked 16 bit to 5 digit* [online]. Cambridge, Massachusetts, USA 2001–2009, [cit. 18. 5. 2009]. Dostupné z URL: <<http://www.piclist.com/techref/microchip/math/radix/b2bu-16b5d.htm>>.
- [9] PEROUTKA, Oldřich. *Mikrokontroléry PIC16F87X*. Vydání 1. Praha: BEN - technická literatura, 2005. 256s. ISBN 80-7300-139-X.
- [10] SANCHEZ, Julio; CANTON, Maria P. *Microcontroller Programming. The Microchip PIC*. Florida: CRC Press, 2007. 824s. ISBN 08-4937-189-9.
- [11] VACEK, Václav. *Učebnice programování PIC*. Vydání 1. Praha: BEN - technická literatura, 2000. 139s. ISBN 80-86057-87-2.
- [12] *PIC16F87XA Data Sheet*. Chandler: Microchip, 2002. 234s. [cit. 18. 5. 2009]. Dostupné na webu: <<http://www.microchip.cz>>.
- [13] *PIC16F913 Data Sheet*. Chandler: Microchip, 2006. 303s. [cit. 18. 5. 2009]. Dostupné na webu: <<http://www.microchip.cz>>.

- [14] *MAXIM +5V-Powered, Multichannel RS-232 Drivers/Receivers (19-4323; Rev 15; 1/06)*. Sunnyvale: Maxim IC, 2006. 36s. [cit. 18. 5. 2009]. Dostupné z URL: <[http://www.maxim-ic.com/quick\\_view2.cfm?qv\\_pk=1798](http://www.maxim-ic.com/quick_view2.cfm?qv_pk=1798)>.
- [15] *Yageo: Data sheet surface-mount ceramic multilayer capacitors, General purpose, Class 1, NP0, 16 V TO 50 V, (V. 0)*. Taiwan: Yageo, 2009. 15s. [cit. 18. 5. 2009]. Dostupné z URL: <[http://www.yageo.com/pdf/UPY-GP\\_NP0\\_16V-to-50V\\_0.pdf](http://www.yageo.com/pdf/UPY-GP_NP0_16V-to-50V_0.pdf)>.
- [16] *CA45 Series Solid Electrolyte Tantalum Chip Capacitor*. Japan: Shjinpei, 2009. 3s. [cit. 18. 5. 2009]. Dostupné z URL: <[http://www.gme.cz/\\_dokumentace/dokumenty/907/907-029/dsh.907-029.1.pdf](http://www.gme.cz/_dokumentace/dokumenty/907/907-029/dsh.907-029.1.pdf)>.
- [17] *Quartz SMD HC49USSMD*. Hameln: Auris, 2008. 1s. [cit. 18. 5. 2009]. Dostupné z URL: <[http://www.auris-gmbh.de/root/img/pool/pdf\\_files/HC49USSMD.pdf](http://www.auris-gmbh.de/root/img/pool/pdf_files/HC49USSMD.pdf)>.
- [18] *L78L00 Series - Positive voltage regulators (Rev. 10)*. Geneva: STMicroelectronics, 2005. 26s. [cit. 18. 5. 2009]. Dostupné z URL: <[http://www.gme.cz/\\_dokumentace/dokumenty/934/934-005/dsh.934-005.1.pdf](http://www.gme.cz/_dokumentace/dokumenty/934/934-005/dsh.934-005.1.pdf)>.
- [19] *LE00AB/C Series - Verz low drop voltage regulators with inhibit*. Geneva: STMicroelectronics, 2002. 26s. [cit. 18. 5. 2009]. Dostupné z URL: <[www.datasheetcatalog.com/datasheets\\_pdf/L/E/5/0/LE50CZ.shtml](http://www.datasheetcatalog.com/datasheets_pdf/L/E/5/0/LE50CZ.shtml)>.
- [20] *TS4148 0.5AMPS High Speed Switching Diode (Version: C08)*. Taiwan: Taiwan Semiconductors, 2008. 2s. [cit. 18. 5. 2009]. Dostupné z URL: <[http://www.gme.cz/\\_dokumentace/dokumenty/934/934-005/dsh.934-005.1.pdf](http://www.gme.cz/_dokumentace/dokumenty/934/934-005/dsh.934-005.1.pdf)>.
- [21] *137 Series 2510 Connectors*. Praha: GME, 2008. 1s. [cit. 18. 5. 2009]. Dostupné z URL: <[http://www.gme.cz/\\_dokumentace/dokumenty/800/800-087/dsh.800-087.1.pdf](http://www.gme.cz/_dokumentace/dokumenty/800/800-087/dsh.800-087.1.pdf)>.
- [22] *Datasheet MAX232, MAX232I*. Dallas: Texas instruments, 2004. 17s. [cit. 18. 5. 2009]. Dostupné z URL: <<http://www.ti.com/lit/gpn/max232>>.
- [23] *Datasheet HIN232, HIN236, HIN237, HIN238, HIN239, HIN240, HIN241 (FN3138.16)*. Milpitas: Intersil, 2008. 21s. [cit. 18. 5. 2009]. Dostupné z URL: <<http://www.intersil.com/data/fn/fn3138.pdf>>.

- [24] *Datasheet ICL232 (FN3020.7)*. Milpitas: Intersil, 2008. 7s. [cit. 18. 5. 2009]. Dostupné z URL: <<http://www.intersil.com/data/fn/fn3020.pdf>>.
- [25] *Datasheet TC232*. Chandler: Microchip, 1996. 6s. [cit. 18. 5. 2009]. Dostupné z URL: <<http://datasheet.digchip.com/295/295-3-136340-C232COE.pdf>>.
- [26] *Datasheet ST232B, ST232C*. Geneva: STMicroelectronics, 2004. 19s. [cit. 18. 5. 2009]. Dostupné z URL: <<http://www.st.com/stonline/products/literature/ds/6420.pdf>>.
- [27] DUANE, Brett. *Aplication note AN949 - Making Your Oscillator Work*. Chandler: Microchip, 2004. 8s. [cit. 18. 5. 2009]. Dostupné na webu: <<http://www.microchip.cz>>.
- [28] *PIC16F627A/628A/648A Data Sheet*. Chandler: Microchip, 2007. 178s. [cit. 18. 5. 2009]. Dostupné na webu: <<http://www.microchip.cz>>.
- [29] *PIC16F631/677/685/687/689/690 Data Sheet*. Chandler: Microchip, 2008. 306s. [cit. 18. 5. 2009]. Dostupné na webu: <<http://www.microchip.cz>>.
- [30] *PIC16F688 Data Sheet*. Chandler: Microchip, 2007. 202s. [cit. 18. 5. 2009]. Dostupné na webu: <<http://www.microchip.cz>>.
- [31] *PIC16F631/677/685/687/689/690 Data Sheet*. Chandler: Microchip, 2007. 306s. [cit. 18. 5. 2009]. Dostupné na webu: <<http://www.microchip.cz>>.
- [32] *PIC16F72X/PIC16LF72X Data Sheet*. Chandler: Microchip, 2009. 266s. [cit. 18. 5. 2009]. Dostupné na webu: <<http://www.microchip.cz>>.
- [33] *PIC16F7X7 Data Sheet*. Chandler: Microchip, 2004. 276s. [cit. 18. 5. 2009]. Dostupné na webu: <<http://www.microchip.cz>>.
- [34] *PIC16F7X Data Sheet*. Chandler: Microchip, 2002. 174s. [cit. 18. 5. 2009]. Dostupné na webu: <<http://www.microchip.cz>>.
- [35] *PIC16F882/883/884/886/887 Data Sheet*. Chandler: Microchip, 2009. 328s. [cit. 18. 5. 2009]. Dostupné na webu: <<http://www.microchip.cz>>.
- [36] *PIC16F87/88 Data Sheet*. Chandler: Microchip, 2002. 228s. [cit. 18. 5. 2009]. Dostupné na webu: <<http://www.microchip.cz>>.
- [37] *PIC16F913/914/916/917/946 Data Sheet*. Chandler: Microchip, 2007. 330s. [cit. 18. 5. 2009]. Dostupné na webu: <<http://www.microchip.cz>>.

## SEZNAM SYMBOLŮ, VELIČIN A ZKRATEK

ASCII	americký normalizovaný kód pro výměnu informací – American Standard Code for Information Interchange
BCD	Binárně kódované desítkové číslo – Binary Coded Decimal
Bd	Baud
bit/s	bity za sekundu
CAN	Controller-Area Network
CR	návrat vozíku – Carriage Return
DCE	ukončující zařízení datového okruhu – Data Communication Equipment
DMIPS/MHz	Dhrystone MIPS/MHz
DPS	deska plošných spojů
DTE	koncové zařízení přenosu dat – Data Terminal Equipment
EEPROM	Elektricky mazatelná a programovatelná paměť – Electrically Erasable Programmable Read-Only Memory
EIA	sdružení pro elektronický průmysl – Electronic Industries Association
EPROM	Elektricky programovatelná paměť – Electrically Programmable Read Only Memory
FIFO	First-In First-Out
ICSP	Sériové programování v cílovém obvodu – In Circuit Serial Programming
LF	posun o řádek – Line Feed
LSb	Nejméně významný bit – Least Significant bit
MAPS	Microchip Advanced Part Selector
MIPS	Milion instrukcí za sekundu – Million Instructions Per Second
MSb	Bit s největším významem – Most Significant bit
PWM	Pulsní šířková modulace – Pulse Width Modulation
RAM	Paměť s náhodným přístupem – Random Access Memory

RISC	Počítač s redukovanou instrukční sadou – Reduced Instruction Set Computer
RXD	přijímaná data – Received Data
SCI	Sériové komunikační rozhraní – Serial Communication Interface
SG	signálová země – Signal Ground
SMD	součástka pro povrchovou montáž – Surface Mount Device
SMT	technologie povrchové montáže – Surface Mount Technology
TXD	vysílaná data – Transmitted Data
USART	Univerzální synchronní asynchronní přijímač vysílač – Universal Synchronous Asynchronous Receiver Transmitter
USB	univerzální sériová sběrnice – Universal Serial Bus



# SEZNAM PŘÍLOH

<b>A</b>	<b>Vztahy pro převod z binárního tvaru na BCD čísla</b>	<b>57</b>
<b>B</b>	<b>Zdrojový kód obslužného programu</b>	<b>59</b>
B.1	Podprogram pro čtení dat z EEPROM . . . . .	59
B.2	Podprogram pro příjem dat a převod na BCD . . . . .	60
B.3	Podprogram pro vstupní úpravu řetězce . . . . .	62
B.4	Podprogram pro převod z BCD na binární formát . . . . .	63
B.5	Podprogram pro binární násobení korekční konstantou . . . . .	65
B.6	Podprogram pro převod z binárního formátu na BCD . . . . .	66
B.7	Podprogram pro výstupní úpravu řetězce . . . . .	76
B.8	Podprogram pro odeslání řetězce . . . . .	77
<b>C</b>	<b>ASCII tabulka</b>	<b>78</b>
<b>D</b>	<b>Obsah doprovodného CD</b>	<b>79</b>

# A VZTAHY PRO PŘEVOD Z BINÁRNÍHO TVARU NA BCD ČÍSLA

Hexadecimální číslo:

$$H = h_{10} * 16^{10} + h_9 * 16^9 + h_8 * 16^8 + h_7 * 16^7 + h_6 * 16^6 + h_5 * 16^5 \\ + h_4 * 16^4 + h_3 * 16^3 + h_2 * 16^2 + h_1 * 16^1 + h_0 * 16^0.$$

Decimální číslo:

$$D = d_{12} * 10^{12} + d_{11} * 10^{11} + d_{10} * 10^{10} + d_9 * 10^9 + d_8 * 10^8 + d_7 * 10^7 \\ + d_6 * 10^6 + d_5 * 10^5 + d_4 * 10^4 + d_3 * 10^3 + d_2 * 10^2 + d_1 * 10^1 \\ + d_0 * 10^0.$$

Vyjádření složek hexadecimálního čísla:

$$h_0 * 16^0 = h_0 * 1 = h_0 * 10^0,$$

$$h_1 * 16^1 = h_1 * 16 = h_1 * 10^1 + 6 * h_1 * 10^0,$$

$$h_2 * 16^2 = h_2 * 256 = 2 * h_2 * 10^2 + 5 * h_2 * 10^1 + 6 * h_2 * 10^0,$$

$$h_3 * 16^3 = h_3 * 4096 = 4 * h_3 * 10^3 + 9 * h_3 * 10^1 + 6 * h_3 * 10^0,$$

$$h_4 * 16^4 = h_4 * 65536 = 6 * h_4 * 10^4 + 5 * h_4 * 10^3 + 5 * h_4 * 10^2 \\ + 3 * h_4 * 10^1 + 6 * h_4 * 10^0,$$

$$h_5 * 16^5 = h_5 * 1048576 = h_5 * 10^6 + 4 * h_5 * 10^4 + 8 * h_5 * 10^3 \\ + 5 * h_5 * 10^2 + 7 * h_5 * 10^1 + 6 * h_5 * 10^0,$$

$$h_6 * 16^6 = h_6 * 16777216 = h_6 * 10^7 + 6 * h_6 * 10^6 + 7 * h_6 * 10^5 \\ + 7 * h_6 * 10^4 + 7 * h_6 * 10^3 + 2 * h_6 * 10^2 + h_6 * 10^1 \\ + 6 * h_6 * 10^0,$$

$$h_7 * 16^7 = h_7 * 268435456 = 2 * h_7 * 10^8 + 6 * h_7 * 10^7 + 8 * h_7 * 10^6 \\ + 4 * h_7 * 10^5 + 3 * h_7 * 10^4 + 5 * h_7 * 10^3 + 4 * h_7 * 10^2 \\ + 5 * h_7 * 10^1 + 6 * h_7 * 10^0,$$

$$\begin{aligned}
h_8 * 16^8 &= h_8 * 4294967296 = 4 * h_8 * 10^9 + 2 * h_8 * 10^8 + 9 * h_8 * 10^7 \\
&+ 4 * h_8 * 10^6 + 9 * h_8 * 10^5 + 6 * h_8 * 10^4 + 7 * h_8 * 10^3 \\
&+ 2 * h_8 * 10^2 + 9 * h_8 * 10^1 + 6 * h_8 * 10^0,
\end{aligned}$$

$$\begin{aligned}
h_9 * 16^9 &= h_9 * 68719476736 = 6 * h_9 * 10^{10} + 8 * h_9 * 10^9 + 7 * h_9 * 10^8 \\
&+ h_9 * 10^7 + 9 * h_9 * 10^6 + 4 * h_9 * 10^5 + 7 * h_9 * 10^4 + 6 * h_9 * 10^3 \\
&+ 7 * h_9 * 10^2 + 3 * h_9 * 10^1 + 6 * h_9 * 10^0,
\end{aligned}$$

$$\begin{aligned}
h_{10} * 16^{10} &= h_{10} * 1099511687776 = h_{10} * 10^{12} + 9 * h_{10} * 10^{10} + 9 * h_{10} * 10^9 \\
&+ 5 * h_{10} * 10^8 + h_{10} * 10^7 + h_{10} * 10^6 + 6 * h_{10} * 10^5 + 2 * h_{10} * 10^4 + \\
&7 * h_{10} * 10^3 + 7 * h_{10} * 10^2 + 7 * h_{10} * 10^1 + 6 * h_{10} * 10^0.
\end{aligned}$$

Seskupení jednotlivých dekadických řádů:

$$d_{.0}' = h_{.0} + 6 * (h_{.1} + h_{.2} + h_{.3} + h_{.4} + h_{.5} + h_{.6} + h_{.7} + h_{.8} + h_{.9} + h_{.10}),$$

$$\begin{aligned}
d_{.1}' &= h_{.1} + 5 * h_{.2} + 9 * h_{.3} + 3 * h_{.4} + 7 * h_{.5} + h_{.6} + 5 * h_{.7} + 9 * h_{.8} + 3 * h_{.9} \\
&+ 7 * h_{.10},
\end{aligned}$$

$$d_{.2}' = 2 * h_{.2} + 5 * h_{.4} + 5 * h_{.5} + 2 * h_{.6} + 4 * h_{.7} + 2 * h_{.8} + 7 * h_{.9} + 7 * h_{.10},$$

$$d_{.3}' = 4 * h_{.3} + 5 * h_{.4} + 8 * h_{.5} + 7 * h_{.6} + 5 * h_{.7} + 7 * h_{.8} + 6 * h_{.9} + 7 * h_{.10},$$

$$d_{.4}' = 6 * h_{.4} + 4 * h_{.5} + 7 * h_{.6} + 3 * h_{.7} + 6 * h_{.8} + 7 * h_{.9} + 2 * h_{.10},$$

$$d_{.5}' = 7 * h_{.6} + 4 * h_{.7} + 9 * h_{.8} + 4 * h_{.9} + 6 * h_{.10},$$

$$d_{.6}' = h_{.5} + 6 * h_{.6} + 8 * h_{.7} + 4 * h_{.8} + 9 * h_{.9} + h_{.10},$$

$$d_{.7}' = h_{.6} + 6 * h_{.7} + 9 * h_{.8} + h_{.9} + h_{.10},$$

$$d_{.8}' = 2 * h_{.7} + 2 * h_{.8} + 7 * h_{.9} + 5 * h_{.10},$$

$$d_{.9}' = 4 * h_{.8} + 8 * h_{.9} + 9 * h_{.10},$$

$$d_{.10}' = 6 * h_{.9} + 9 * h_{.10},$$

$$d_{.11}' = 0,$$

$$d_{.12}' = h_{.10},$$

## B ZDROJOVÝ KÓD OBSLUŽNÉHO PROGRAMU

### B.1 Podprogram pro čtení dat z EEPROM

```
nacteni_konstant
;cteni korekcnicich konstant z EEPROM
    movlw    h'01'                ; Adresa nižší části korekční konst.->W
    call    read_EEPROM          ; Procedura čtení z EEPROM
    movwf   MULT0                ; Uložení do RAM
    movlw   .1
    call    cekej                ; Procedura čekání
    movlw   h'00'                ; Adresa vyšší části korekční konst.->W
    call    read_EEPROM          ; Procedura čtení z EEPROM
    movwf   MULT1                ; Uložení do RAM
    movlw   .1
    call    cekej                ; Procedura pro čekání
;cteni delky retezce z EEPROM
    movlw   h'02'                ; Adresa konst. délky řetězce ->W
    call    read_EEPROM          ; Procedura čtení z EEPROM
    movwf   MAXDIG              ; Uložení do RAM
    return

read_EEPROM
    bankpg2                      ; Makro pro přepnutí do banky 2
    movwf   EEADRL               ; Vložení adresy registru EEPROM
    clrf    EEADRH
    bankpg3                      ; Makro pro přepnutí do banky 3
    bcf     EECON1,EEPGD
    bsf     EECON1,RD            ; Spustit čtení
    bankpg2                      ; Makro pro přepnutí do banky 2
    nop
    movf    EEDATL,W             ; W=Obsah registru EEPROM
    bankpg0                      ; Makro pro přepnutí do banky 0
    return
```

## B.2 Podprogram pro příjem dat a převod na BCD

```
data_na_vstupu
    movf    PCOUNT,W           ; Ukazatel na přijímací paměť->W
    movwf   FSR
    call    prijem_retezce
    btfss   SC1                ; Pokud SC1=0,konec podprogramu data_na_vstupu
    return
    btfss   SC3                ; Pokud SC3=0,konec podprogramu data_na_vstupu
    return
    btfss   SC4                ; Pokud SC4=0,nastav SC12=1 => zahození řetězce
    bsf     SC12
    return                    ; Konec podprogramu data_na_vstupu

;--

W_ASCII_to_BCD_not
    movf    BP1,W
    btfss   SC2                ; Pokud nebyl přijat první ukonč. znak(SC2=0)-skok
    goto    kontrola_prvni_k_znaku
    bsf     SC3                ; Identifikace příjmu druhého ukonč. znaku
    movwf   INDF                ; Ulož do paměti (na místo, kam ukazuje FSR)
    decf    PCOUNT,F
    return                    ; Konec podprogramu W_ASCII_to_BCD

kontrola_prvni_k_znaku
    xorlw   h'0D'              ; Exkluz. součet příj.znaku a jeho předpokl.hodnoty
    btfss   STATUS,Z            ; Pokud se čísla nerovnají => zahod řetězec (SC12=1)
    SC12
    btfsc   STATUS,Z            ; Pokud se čísla rovnají (výsl. nula) nastav SC2=1
    bsf     SC2                ; Identifikace, že byl přijat první ukončující znak
    movf    BP1,W
    movwf   INDF                ; Načtení příj. znaku z pomocné proměnné
    decf    PCOUNT,F
    return                    ; Ukazatel na přijímací paměť -1

W_ASCII_to_BCD
    movwf   BP1                ; Záloha přijatého znaku do pomocné proměnné
    movlw   h'30'
    subwf   BP1,W              ; Odečti od př. znaku h'30', W=výsledek
    btfss   STATUS,C
    goto    W_ASCII_to_BCD_not ; Pokud je výsledek záporné číslo - skok
    movlw   h'3A'
    subwf   BP1,W              ; Odečti od př. znaku h'3A', W=výsledek
    btfsc   STATUS,C
    goto    W_ASCII_to_BCD_not ; Pokud je výsledek záporné číslo - skok
    addlw   h'0A'              ; Přičti k výsledku h'0A'=> BCD číslo
    movwf   INDF                ; Ulož do paměti (na místo, kam ukazuje FSR)
    decf    PCOUNT,F
    decf    CMAXDIG,F          ; Dekrementace max.rozsahu přijímání
    movf    CMAXDIG,F
    btfsc   STATUS,Z
    bsf     SC12                ; Pokud je nula => zahození řetězce
    return

;--

kontrola_start_znaku
    xorlw   h'54'              ; Exkluz. součet příj.znaku a jeho předpokl.hodnoty
    btfsc   STATUS,Z            ; Pokud se čísla rovnají (výsl. nula) nastav SC1=1
    bsf     SC1                ; Identifikace příjmu „start znaku“
    goto    kontrola_start_znaku_konec
```

```

prijem_retezce
    movf    RCREG,W
    btfss   SC1                ; Kontrola zda již byl přijat „start znak“
    goto    kontrola_start_znaku
    btfsc   SC1
    goto    prijem_retezce_pok
kontrola_start_znaku_konec
    movf    MAXDIG,W          ; Načtení maximální velikosti řetězce
    movwf   CMAXDIG          ; Uložení do pomocné proměnné
    incf    CMAXDIG,F
    return                                ; Konec podprogramu prijem_retezce
prijem_retezce_pok
    call    W_ASCII_to_BCD
    btfss   SC3
    return                                ; Konec podprogramu prijem_retezce
    xorlw   h'0A'             ; Exkluz. součet přij.znaku a jeho předpokl.hodnoty
    btfss   STATUS,Z         ; Pokud je výsledek nula,
    return                                ; konec podprogramu prijem_retezce
    bsf     SC4               ; Identifikace správného řetězce
    bsf     SC5               ; Povolení spuštění podprogramu vstupni_uprava
    bcf     RCSTA,CREN        ; Vypnutí kontinuálního čtení
    return                                ; Konec podprogramu prijem_retezce

```

## B.3 Podprogram pro vstupní úpravu řetězce

```
vstupni_uprava
    movf    CMAXDIG,W           ; Kontrola zda bylo v řetězci přijato alespoň
    subwf   MAXDIG,W           ; jedno číslo, pokud ne -> zahodit řetězec
    btfss   STATUS,C
    goto    vstupni_uprava_err
    incf    PCOUNT,F
    movf    PCOUNT,W
    movwf   FSR
    movf    INDF,W
    movwf   RS1                ; Uložení konečných znaků h'0D' a h'0A' do
    incf    FSR,F              ; pomocných proměnných
    incf    PCOUNT,F
    movf    INDF,W
    movwf   RS0
    movlw   h'61'              ; Ukazatel na začátek sady registrů R7-R0
    movwf   RA
vstupni_uprava_repeat
    incf    PCOUNT,F
    movf    PCOUNT,W
    movwf   FSR
    movf    INDF,W
    movwf   RSP
    movf    RA,W
    movwf   FSR
    movf    RSP,W
    movwf   INDF
    decf    RA,F
    call    kontrola_P0        ; Kontrola konce sady registrů (P0)
    btfss   SC6
    goto    vstupni_uprava_repeat
    return                       ; Konec podprogramu vstupni_uprava
kontrola_P0
    movf    PCOUNT,W
    xorlw   h'38'
    btfsc   STATUS,Z           ; Pokud je konec paměti nastav SC6=1
    bsf     SC6                ; Povolen převod BCD na bin
    return
vstupni_uprava_err
    bcf     SC5                ; Odstranění povolení pro proceduru vstupni_uprava
    bsf     SC12               ; Zahození řetězce
    return
```

## B.4 Podprogram pro převod z BCD na binární formát

```
prevod_BCD_bin
    clrf    V3                ; Nulování V0-V3
    clrf    V2
    clrf    V1
    clrf    V0
    movf    MAXDIG,W         ; Výpočet opakování
    movwf   RMAXDIG
    incf    RMAXDIG,F
    movf    CMAXDIG,W
    subwf   RMAXDIG,F
    movf    RMAXDIG,W
    sublw   h'62'           ; Výpočet ukazatele na nejvyšší přij.řád
    movwf   FSR
prevod_BCD_bin_smycka
    movf    INDF,W           ; Vyčtení hodnoty z paměti
    call    add_32v2         ; Přičtení k celku
    decf    RMAXDIG,F       ; Pokud je znak poslední, skok
    btfsc   STATUS,Z
    goto    prevod_BCD_bin_ret
    call    uloz_pred        ; Záloha výsledku před násobením
    call    mul_2xv2         ; Násobení 2x
    call    mul_2xv2         ; Násobení 2x
    call    add_32_p         ; Přičtení zálohovaného výsledku (nasob.celk.5x)
    call    mul_2xv2         ; Násobení 2x ...celkem tedy 10x
    incf    FSR,F           ; Navýšení ukazatele
    goto    prevod_BCD_bin_smycka
prevod_BCD_bin_ret
    bsf     SC8              ; Povolení spuštění procedury mul_32x16
    return                    ; Konec podprogramu prevod_BCD_bin

mul_2xv2
    ; Podprogram pro 32-bitové násobení 2x
    bcf     STATUS,C
    rlf     V3,F             ; Přenos mezi registry při posunu je
    rlf     V2,F             ; přenášen v C
    rlf     V1,F
    rlf     V0,F
    bcf     STATUS,C
    return

add_32_p
    ; 32-bitové sčítání se zálohovanou předchozí
    ; hodnotou
    movf    ADAT4,W
    addwf   V3,F
    movf    ADAT3,w
    btfsc   STATUS,C
    incfsz  ADAT3,w
    addwf   V2,F
    movf    ADAT2,w
    btfsc   STATUS,C
    incfsz  ADAT2,w
    addwf   V1,F
    movf    ADAT1,w
    btfsc   STATUS,C
    incfsz  ADAT1,w
    addwf   V0,F
    return
```



```

add_32v2                                ; 32-bitové přičítání
    addwf    V3,F
    clrw
    btfsz    STATUS,C
    incfsz   V2,w
    addwf    V2,F
    btfsz    STATUS,C
    incfsz   V1,w
    addwf    V1,F
    btfsz    STATUS,C
    incfsz   V0,w
    addwf    V0,F
    return

uloz_pred                                ; Záloha mezivýsledku do pomocných proměnných
    movf     V3,W
    movwf   ADAT4
    movf     V2,W
    movwf   ADAT3
    movf     V1,W
    movwf   ADAT2
    movf     V0,W
    movwf   ADAT1
    return

```

## B.5 Podprogram pro binární násobení korekční konstantou

```
mul_32x16
  movf    MULT0,W           ; Načtení konstant pro násobení
  movwf   N0
  movf    MULT1,W
  movwf   N1
mul32x16_repeat
  btfsc   N0,0             ; Pokud LSB=1 volej proceduru add_52_p
  call    add_52_p
  call    mul32x16_shift
  movf    N0,F             ; Dokud nejsou konstanty nulové opakuj
  btfss   STATUS,Z
  goto    mul32x16_repeat
  movf    N1,F
  btfss   STATUS,Z
  goto    mul32x16_repeat
  clrf    V3               ; Vymazání proměnných
  clrf    V2
  clrf    V1
  clrf    V0
  clrf    VP
  clrf    VPP
  bsf     SC9              ; Povolení spuštění procedury prevod_bin_BCD
  return                    ; Konec podprogramu mul_32x16

mul32x16_shift              ; Bitový posun výsledku vlevo
  bcf     STATUS,C
  rlf     V3,F
  rlf     V2,F
  rlf     V1,F
  rlf     V0,F
  rlf     VP,F
  rlf     VPP,F
  bcf     STATUS,C
  rrf     N1,F             ; Bitový posun násobitele vpravo
  rrf     N0,F
  bcf     STATUS,C
  return

add_52_p                    ; 52-bitové sčítání výsledku s mezivýsledkem
  movf    V3,W
  addwf   C5,F
  movf    V2,W
  btfsc   STATUS,C
  incfsz  V2,W
  addwf   C4,F
  movf    V1,W
  btfsc   STATUS,C
  incfsz  V1,W
  addwf   C3,F
  movf    V0,W
  btfsc   STATUS,C
  incfsz  V0,W
  addwf   C2,F
  movf    VP,W
  btfsc   STATUS,C
  incfsz  VP,W
  addwf   C1,F
  movf    VPP,W
  btfsc   STATUS,C
  incfsz  VPP,W
  addwf   C0,F
  return
```

## B.6 Podprogram pro převod z binárního formátu na BCD

```
prevod_bin_BCD
    bcf     STATUS,Z
    bcf     STATUS,C
    clrf    BP0
    clrf    BP1
;--d_0
    movf   C5,W                ; h_0*1
    andlw  b'00001111'
    call   add_part
    movlw  d'6'                ; h_1*6
    movwf  MBCC
    swapf  C5,W
    andlw  b'00001111'
    call   mul_by_con
    call   add_part
    movlw  d'6'                ; h_2*6
    movwf  MBCC
    movf   C4,W
    andlw  b'00001111'
    call   mul_by_con
    call   add_part
    movlw  d'6'                ; h_3*6
    movwf  MBCC
    swapf  C4,W
    andlw  b'00001111'
    call   mul_by_con
    call   add_part
    movlw  d'6'                ; h_4*6
    movwf  MBCC
    movf   C3,W
    andlw  b'00001111'
    call   mul_by_con
    call   add_part
    movlw  d'6'                ; h_5*6
    movwf  MBCC
    swapf  C3,W
    andlw  b'00001111'
    call   mul_by_con
    call   add_part
    movlw  d'6'                ; h_6*6
    movwf  MBCC
    movf   C2,W
    andlw  b'00001111'
    call   mul_by_con
    call   add_part
    movlw  d'6'                ; h_7*6
    movwf  MBCC
    swapf  C2,W
    andlw  b'00001111'
    call   mul_by_con
    call   add_part
    movlw  d'6'                ; h_8*6
    movwf  MBCC
    movf   C1,W
    andlw  b'00001111'
    call   mul_by_con
    call   add_part
    movlw  d'6'                ; h_9*6
    movwf  MBCC
    swapf  C1,W
    andlw  b'00001111'
    call   mul_by_con
    call   add_part
```

```

movlw    d'6'                ; h_10*6
movwf    MBCC
movf     C0,W
andlw    b'00001111'
call     mul_by_con
call     add_part
call     mod_10
movwf    B0
movf     BPP1,W
addwf    B1,F
movf     BPP2,W
addwf    B2,F
clrf     BP0
clrf     BP1
;--d_1
swapf    C5,W                ; h_1*1
andlw    b'00001111'
call     add_part
movlw    d'5'                ; h_2*6
movwf    MBCC
movf     C4,W
andlw    b'00001111'
call     mul_by_con
call     add_part
movlw    d'9'                ; h_3*9
movwf    MBCC
swapf    C4,W
andlw    b'00001111'
call     mul_by_con
call     add_part
movlw    d'3'                ; h_4*3
movwf    MBCC
movf     C3,W
andlw    b'00001111'
call     mul_by_con
call     add_part
movlw    d'7'                ; h_5*7
movwf    MBCC
swapf    C3,W
andlw    b'00001111'
call     mul_by_con
call     add_part
movf     C2,W                ; h_6*1
andlw    b'00001111'
call     add_part
movlw    d'5'                ; h_7*5
movwf    MBCC
swapf    C2,W
andlw    b'00001111'
call     mul_by_con
call     add_part
movlw    d'9'                ; h_8*9
movwf    MBCC
movf     C1,W
andlw    b'00001111'
call     mul_by_con
call     add_part
movlw    d'3'                ; h_9*3
movwf    MBCC
swapf    C1,W
andlw    b'00001111'
call     mul_by_con
call     add_part

```

```

movlw    d'7'                ; h_10*7
movwf    MBCC
movf     C0,W
andlw    b'00001111'
call     mul_by_con
call     add_part
movf     B1,W
call     add_part
call     mod_10
movwf    B1
movf     BPP1,W
addwf    B2,F
movf     BPP2,W
addwf    B3,F
clrf     BP0
clrf     BP1
;--d_2
movlw    d'2'                ; h_2*2
movwf    MBCC
movf     C4,W
andlw    b'00001111'
call     mul_by_con
call     add_part
movlw    d'5'                ; h_4*5
movwf    MBCC
movf     C3,W
andlw    b'00001111'
call     mul_by_con
call     add_part
movlw    d'5'                ; h_5*5
movwf    MBCC
swapf    C3,W
andlw    b'00001111'
call     mul_by_con
call     add_part
movlw    d'2'                ; h_6*2
movwf    MBCC
movf     C2,W
andlw    b'00001111'
call     mul_by_con
call     add_part
movlw    d'4'                ; h_7*4
movwf    MBCC
swapf    C2,W
andlw    b'00001111'
call     mul_by_con
call     add_part
movlw    d'2'                ; h_8*2
movwf    MBCC
movf     C1,W
andlw    b'00001111'
call     mul_by_con
call     add_part
movlw    d'7'                ; h_9*7
movwf    MBCC
swapf    C1,W
andlw    b'00001111'
call     mul_by_con
call     add_part

```

```

movlw    d'7'                ; h_10*7
movwf    MBCC
movf     C0,W
andlw    b'00001111'
call     mul_by_con
call     add_part
movf     B2,W
call     add_part
call     mod_10
movwf    B2
movf     BPP1,W
addwf    B3,F
movf     BPP2,W
addwf    B4,F
clrf     BP0
clrf     BP1
;--d_3
movlw    d'4'                ; h_3*4
movwf    MBCC
swapf    C4,W
andlw    b'00001111'
call     mul_by_con
call     add_part
movlw    d'5'                ; h_4*5
movwf    MBCC
movf     C3,W
andlw    b'00001111'
call     mul_by_con
call     add_part
movlw    d'8'                ; h_5*8
movwf    MBCC
swapf    C3,W
andlw    b'00001111'
call     mul_by_con
call     add_part
movlw    d'7'                ; h_6*7
movwf    MBCC
movf     C2,W
andlw    b'00001111'
call     mul_by_con
call     add_part
movlw    d'5'                ; h_7*5
movwf    MBCC
swapf    C2,W
andlw    b'00001111'
call     mul_by_con
call     add_part
movlw    d'7'                ; h_8*7
movwf    MBCC
movf     C1,W
andlw    b'00001111'
call     mul_by_con
call     add_part
movlw    d'6'                ; h_9*6
movwf    MBCC
swapf    C1,W
andlw    b'00001111'
call     mul_by_con
call     add_part

```

```

movlw    d'7'                ; h_10*7
movwf    MBCC
movf     C0,W
andlw    b'00001111'
call     mul_by_con
call     add_part
movf     B3,W
call     add_part
call     mod_10
movwf    B3
movf     BPP1,W
addwf    B4,F
movf     BPP2,W
addwf    B5,F
clrf    BP0
clrf    BP1
;--d_4
movlw    d'6'                ; h_4*6
movwf    MBCC
movf     C3,W
andlw    b'00001111'
call     mul_by_con
call     add_part
movlw    d'4'                ; h_5*4
movwf    MBCC
swapf    C3,W
andlw    b'00001111'
call     mul_by_con
call     add_part
movlw    d'7'                ; h_6*7
movwf    MBCC
movf     C2,W
andlw    b'00001111'
call     mul_by_con
call     add_part
movlw    d'3'                ; h_7*3
movwf    MBCC
swapf    C2,W
andlw    b'00001111'
call     mul_by_con
call     add_part
movlw    d'6'                ; h_8*6
movwf    MBCC
movf     C1,W
andlw    b'00001111'
call     mul_by_con
call     add_part
movlw    d'7'                ; h_9*7
movwf    MBCC
swapf    C1,W
andlw    b'00001111'
call     mul_by_con
call     add_part
movlw    d'2'                ; h_10*2
movwf    MBCC
movf     C0,W
andlw    b'00001111'
call     mul_by_con
call     add_part
movf     B4,W
call     add_part
call     mod_10
movwf    B4
movf     BPP1,W
addwf    B5,F
movf     BPP2,W
addwf    B6,F
clrf    BP0
clrf    BP1

```

```

;--d_5
movlw    d'7'                ; h_6*7
movwf    MBCC
movf     C2,W
andlw    b'00001111'
call     mul_by_con
call     add_part
movlw    d'4'                ; h_7*4
movwf    MBCC
swapf    C2,W
andlw    b'00001111'
call     mul_by_con
call     add_part
movlw    d'9'                ; h_8*9
movwf    MBCC
movf     C1,W
andlw    b'00001111'
call     mul_by_con
call     add_part
movlw    d'4'                ; h_9*4
movwf    MBCC
swapf    C1,W
andlw    b'00001111'
call     mul_by_con
call     add_part
movlw    d'6'                ; h_10*6
movwf    MBCC
movf     C0,W
andlw    b'00001111'
call     mul_by_con
call     add_part
movf     B5,W
call     add_part
call     mod_10
movwf    B5
movf     BPP1,W
addwf    B6,F
movf     BPP2,W
addwf    B7,F
clrf     BP0
clrf     BP1
;--d_6
swapf    C3,W                ; h_5*1
andlw    b'00001111'
call     add_part
movlw    d'6'                ; h_6*6
movwf    MBCC
movf     C2,W
andlw    b'00001111'
call     mul_by_con
call     add_part
movlw    d'8'                ; h_7*8
movwf    MBCC
swapf    C2,W
andlw    b'00001111'
call     mul_by_con
call     add_part
movlw    d'4'                ; h_8*4
movwf    MBCC
movf     C1,W
andlw    b'00001111'
call     mul_by_con
call     add_part
movlw    d'9'                ; h_9*9
movwf    MBCC
swapf    C1,W
andlw    b'00001111'
call     mul_by_con
call     add_part

```



```

movf      C0,W                ; h_10*1
andlw    b'00001111'
call     add_part
movf     B6,W
call     add_part
call     mod_10
movwf    B6
movf     BPP1,W
addwf    B7,F
movf     BPP2,W
addwf    B8,F
clrf     BP0
clrf     BP1
;--d_7
movf     C2,W                ; h_6*1
andlw    b'00001111'
call     add_part
movlw    d'6'                ; h_7*6
movwf    MBCC
swapf    C2,W
andlw    b'00001111'
call     mul_by_con
call     add_part
movlw    d'9'                ; h_8*9
movwf    MBCC
movf     C1,W
andlw    b'00001111'
call     mul_by_con
call     add_part
swapf    C1,W                ; h_9*1
andlw    b'00001111'
call     add_part
movf     C0,W
andlw    b'00001111'        ; h_10*1
call     add_part
movf     B7,W
call     add_part
call     mod_10
movwf    B7
movf     BPP1,W
addwf    B8,F
movf     BPP2,W
addwf    B9,F
clrf     BP0
clrf     BP1
;--d_8
movlw    d'2'                ; h_7*2
movwf    MBCC
swapf    C2,W
andlw    b'00001111'
call     mul_by_con
call     add_part
movlw    d'2'                ; h_8*2
movwf    MBCC
movf     C1,W
andlw    b'00001111'
call     mul_by_con
call     add_part
movlw    d'7'                ; h_9*7
movwf    MBCC
swapf    C1,W
andlw    b'00001111'
call     mul_by_con
call     add_part

```

```

movlw    d'5'                ; h_10*5
movwf    MBCC
movf     C0,W
andlw    b'00001111'
call     mul_by_con
call     add_part
movf     B8,W
call     add_part
call     mod_10
movwf    B8
movf     BPP1,W
addwf    B9,F
movf     BPP2,W
addwf    B10,F
clrf    BP0
clrf    BP1
;--d_9
movlw    d'4'                ; h_8*4
movwf    MBCC
movf     C1,W
andlw    b'00001111'
call     mul_by_con
call     add_part
movlw    d'8'                ; h_9*8
movwf    MBCC
swapf    C1,W
andlw    b'00001111'
call     mul_by_con
call     add_part
movlw    d'9'                ; h_10*9
movwf    MBCC
movf     C0,W
andlw    b'00001111'
call     mul_by_con
call     add_part
movf     B9,W
call     add_part
call     mod_10
movwf    B9
movf     BPP1,W
addwf    B10,F
movf     BPP2,W
addwf    B11,F
clrf    BP0
clrf    BP1
;--d_10
movlw    d'6'                ; h_9*6
movwf    MBCC
swapf    C1,W
andlw    b'00001111'
call     mul_by_con
call     add_part
movlw    d'9'                ; h_10*9
movwf    MBCC
movf     C0,W
andlw    b'00001111'
call     mul_by_con
call     add_part
movf     B10,W
call     add_part
call     mod_10
movwf    B10
movf     BPP1,W
addwf    B11,F
movf     BPP2,W
addwf    B12,F
clrf    BP0
clrf    BP1

```

```

;--d_11
    movf    B11,W
    call    add_part
    call    mod_10
    movwf   B11
    movf    BPP1,W
    addwf   B12,F
    clrf    BP0
    clrf    BP1
;--d_12
    movf    C0,W           ; h_10*1
    andlw   b'00001111'
    call    add_part
    movf    B12,W
    call    add_part
    call    mod_10
    movwf   B12
    clrf    BP0
    clrf    BP1
    bsf     SC10
    return

mul_by_con           ; Procedura pro násobení h_x číslem uloženým
    movwf   MBCP           ; v registru MBCP
    movf    MBCP,F
    btfsc   STATUS,Z       ; Kontrola nenulovosti, pokud MBCP=0 konec
    goto    mul_by_con_end
    clrw
mul_by_con_repeat
    addwf   MBCP,W         ; Cyklus přičítání, pokud MBCC=0 konec
    decfsz  MBCC,F
    goto    mul_by_con_repeat
mul_by_con_end
    return

mod_10               ; Procedura k rozdělení b na složky řádů
    movf    BP0,F
    btfsc   STATUS,Z       ; Pokud BP0=0, zkontroluj BP1, jinak spust' algoritmus
    goto    mod_10_BP1_check
    goto    mod_10_start
mod_10_BP1_check
    movf    BP0,F
    btfss   STATUS,Z       ; Pokud BP1=0, vynuluj BPP1,BPP2,W a konec, jinak
    goto    mod_10_start   ; spust' algoritmus
    clrf    BPP1
    clrf    BPP2
    clrw
    return
mod_10_start
    clrf    BPP1           ; Nulování pomocných registrů a pracovního registru
    clrf    BPP2
    clrw
    movlw   STO
mod_10_start_100repeat
    incf    BPP2,F
    bcf     STATUS,C       ; Odečti d'100' od BP0, pokud C=0(záporný výsledek),
    subwf   BP0,F         ; dekrementuj 1x BP1, pokud je však BP1 záporné pak
    btfsc   STATUS,C       ; přičti k BP0 hodnotu 100 a pokračuj na další část
    goto    mod_10_start_100repeat
    movf    BP1,F
    btfsc   STATUS,Z
    goto    mod_10_start_10start
    decf    BP1,F
    goto    mod_10_start_100repeat

```

```

mod_10_start_10start
  movlw   STO
  decf    BPP2,F           ; Přičti nadbytečně odečtenou 100 a odstraň spatně
  addwf   BP0,F           ; indikovanou 100
  movlw   DESET
  movf    BP0,F           ; Pokud BP0=0, vynuluj pracovní registr a konec
  btfss   STATUS,Z
  goto    mod_10_start_10repeat
  clrw
  return
mod_10_start_10repeat
  incf    BPP1,F
  subwf   BP0,F
  btfsc   STATUS,C
  goto    mod_10_start_10repeat
  addwf   BP0,W
  decf    BPP1,F
  return

add_part
  bcf     STATUS,C         ; 16-bitové přičítání
  addwf   BP0,F
  btfsc   STATUS,C
  incf    BP1,F
  return

```

## B.7 Podprogram pro výstupní úpravu řetězce

```
vystupni_uprava          ; Procedura pro zjištění počtu vysílaných znaků
  movlw    d'252'        ; Příprava registru označujícího desetinnou čárku
  movwf    BCA
  movf     BCOUNT,W    ; a jejich převod z BCD na ASCII
  movwf    FSR          ; Nastavení ukazatele na nejvyšší registr BCD
vystupni_uprava_repeat
  movf     INDF,W       ; Načtení čísla d_x z paměti
  btfsc   STATUS,Z     ; Pokud je registr nulový proved' násl. instr.
  btfsc   SC7          ; Byl již převedeno nějaké číslo?, pokud ne (SC7=0)
  call    preved_na_ASCII ; přeskoč násl. instr.
  btfss   SC7          ; Pokud SC7=0 proved' násl.instr.
  incf    BCOUNT,F    ; Inkrementace ukazatele na první nenulový registr
  movf    FSR,W        ; Kontrola konce procházené paměti
  xorlw   h'47'
  btfsc   STATUS,Z     ; Pokud je konec procházené paměti, proved' násl.instr.
  goto    vystupni_uprava_fin
  incf    FSR,F        ; Inkrementace ukazatele na procházenou paměť
  goto    vystupni_uprava_repeat
vystupni_uprava_fin
  bcf     STATUS,C
  movf    BCOUNT,W    ; Je-li BCOUNT>h'43' jedná se o desetinné číslo
  sublw   h'43'        ; začínající nulou proto do BCOUNT vložít h'43'
  btfsc   STATUS,C     ; Pokud je BCOUNT<=h'43' proved' násl. instr.
  goto    vystupni_uprava_fin_return
  movlw   h'43'
  movwf   BCOUNT
  movlw   h'30'        ; Převed' nuly před desetinnou čárkou
  movwf   B6
  bcf     SC10         ; Odstranění povolení pro vystupni_uprava
  bsf     SC11         ; Povolení procedury odeslani_retezce
  return  ; Konec podprogramu vystupni_uprava
vystupni_uprava_fin_return
  bcf     SC10         ; Odstranění povolení pro vystupni_uprava
  bsf     SC11         ; Povolení procedury odeslani_retezce
  return  ; Konec podprogramu vystupni_uprava
preved_na_ASCII
  btfss   SC7          ; Pokud je první převáděný znak nastav SC7
  bsf     SC7
  addlw   h'30'
  movwf   INDF
  bcf     STATUS,C
  return
```

## B.8 Podprogram pro odeslání řetězce

```
odeslani_retezce
bankpg1                ; Makro pro nastavení banky 1
    movlw    b'00100110' ; Nastavení vysílače UART
    movwf    TXSTA
    movlw    d'25'
    movwf    SPBRG
bankpg0                ; Makro pro nastavení banky 0
    movf     BCOUNT,W   ; Ukazatel na začátek odesílané paměti
    movwf    FSR
odeslani_retezce_repeat
    movf     INDF,W      ; Vyčtení znaku a odeslání
    call    odeslani_retezce_odesli_znak
    movf     FSR,W      ; Kontrola zda je konec odesílané paměti
    xorlw   h'47'
    btfsc   STATUS,Z    ; Pokud je konec od.paměti odešli konečné znaky
    goto    odeslani_retezce_fin
    incf    FSR,F
    goto    odeslani_retezce_repeat
odeslani_retezce_fin
    movf     RS0,W      ; Odeslání znaku h'0A'
    call    odeslani_retezce_odesli_znak
    movf     RS1,W      ; Odeslání znaku h'0D'
    call    odeslani_retezce_odesli_znak
    bcf     SC11        ; Odstranění povolení pro odeslani_retezce
    bsf     SC12        ; Povolení pro odstranění řetězce (restart)
    return                ; Konec podprogramu odeslani_retezce

odeslani_retezce_odesli_znak ; Procedura pro odeslání znaku
    movwf    TXREG
    nop
    btfss   PIR1,TXIF   ; Testuj dokud nebudou data vložena do TSR
    goto    $-1         ; $
    bcf     STATUS,Z    ; Mazání příznakového bitu
    return                ; Konec podprogramu odeslani_retezce_odesli_znak
```

## C ASCII TABULKA

DEC	HEX	ZNAK	DEC	HEX	ZNAK	DEC	HEX	ZNAK	DEC	HEX	ZNAK
0	00	NULL	32	20	SPACE	64	40	@	96	60	'
1	01	SOH	33	21	!	65	41	A	97	61	a
2	02	STX	34	22	"	66	42	B	98	62	b
3	03	ETX	35	23	#	67	43	C	99	63	c
4	04	EOT	36	24	\$	68	44	D	100	64	d
5	05	ENQ	37	25	%	69	45	E	101	65	e
6	06	ACK	38	26	&	70	46	F	102	66	f
7	07	BEL	39	27	'	71	47	G	103	67	g
8	08	BS	40	28	(	72	48	H	104	68	h
9	09	TAB	41	29	)	73	49	I	105	69	i
10	0A	LF	42	2A	*	74	4A	J	106	6A	j
11	0B	VT	43	2B	+	75	4B	K	107	6B	k
12	0C	FF	44	2C	,	76	4C	L	108	6C	l
13	0D	CR	45	2D	-	77	4D	M	109	6D	m
14	0E	SO	46	2E	.	78	4E	N	110	6E	n
15	0F	SI	47	2F	/	79	4F	O	111	6F	o
16	10	DLE	48	30	0	80	50	P	112	70	p
17	11	DC1	49	31	1	81	51	Q	113	71	q
18	12	DC2	50	32	2	82	52	R	114	72	r
19	13	DC3	51	33	3	83	53	S	115	73	s
20	14	DC4	52	34	4	84	54	T	116	74	t
21	15	NAK	53	35	5	85	55	U	117	75	u
22	16	SYN	54	36	6	86	56	V	118	76	v
23	17	ETB	55	37	7	87	57	W	119	77	w
24	18	CAN	56	38	8	88	58	X	120	78	x
25	19	EM	57	39	9	89	59	Y	121	79	y
26	1A	SUB	58	3A	:	90	5A	Z	122	7A	z
27	1B	ESC	59	3B	;	91	5B	[	123	7B	{
28	1C	FS	60	3C	<	92	5C	\	124	7C	
29	1D	GS	61	3D	=	93	5D	]	125	7D	}
30	1E	RS	62	3E	>	94	5E	^	126	7E	~
31	1F	US	63	3F	?	95	5F	_	127	7F	DEL

Tab. C.1: Nižší část ASCII tabulky.

## D OBSAH DOPROVODNÉHO CD

Součástí této bakalářské práce je i CD, které má následující adresářovou strukturu.

**/asm-zdroj** – Zdrojový kód obslužného programu.

**/konstrukce** – Schéma zapojení, podklad pro tvorbu DPS.